

## บทที่ 4

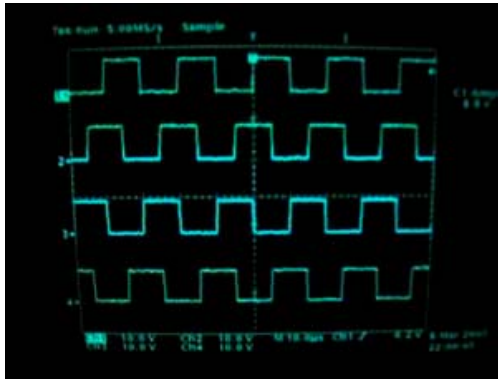
### ผลและการอภิปรายผล

งานวิจัยนี้ได้ผลการทดลองซึ่งแบ่งออกเป็นข้อๆ ตามวัตถุประสงค์ของงานดังต่อไปนี้

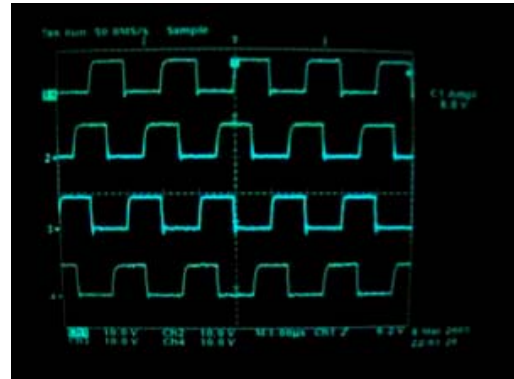
#### 4.1 อุปกรณ์แยกสัญญาณไฟฟ้า

หลังจากประกอบอุปกรณ์แยกสัญญาณดังภาพประกอบ 3.3 แล้วทดสอบสัญญาณเอาต์พุต จาก 1 kHz ถึง 5 MHz ได้สัญญาณคลื่นสี่เหลี่ยม (square waves) มีลักษณะเดียวกับสัญญาณอินพุต ความถี่สัญญาณไฟฟ้าจาก PSU 2 จะมีค่าลดลงครึ่งหนึ่งของความถี่ที่จ่ายเข้าไป เนื่องจากไอซี 74LS393 เป็นตัวที่ลดทอนความถี่สัญญาณไฟฟ้า

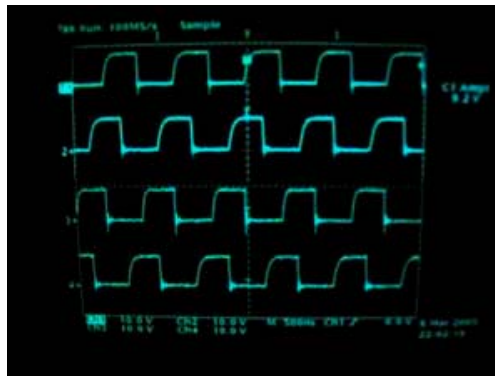
PSU2 สามารถขยายอัมพลิจูดของสัญญาณ จาก  $5 V_{pp}$  ได้ถึง  $20 V_{pp}$  สำหรับความถี่สัญญาณเอาต์พุต 3 MHz เป็นต้นไป พบว่าคลื่นสี่เหลี่ยมเริ่มเปลี่ยนรูปดังภาพประกอบ 4.1 และสอดคล้องกับค่าแรงดันใช้งาน ( $V_{rms}$ ) ของเอาต์พุตจะลดลง ไม่ว่าจะใช้  $V_{rms}$  เท่าใดก็ตาม ดังภาพประกอบ 4.2 ดังนั้นหากต้องการใช้งาน PSU2 ไม่ควรใช้งานที่ความถี่สูงเกิน 3 MHz



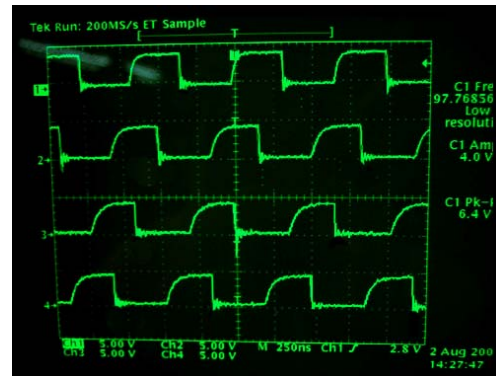
100 kHz



1 MHz



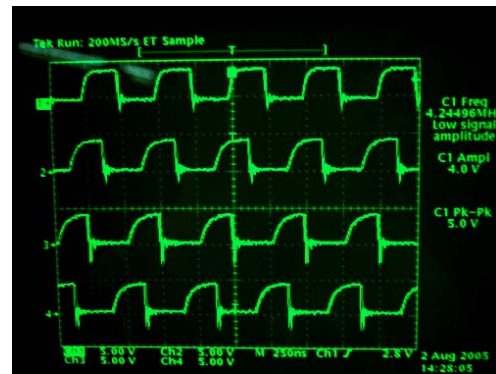
2 MHz



3 MHz

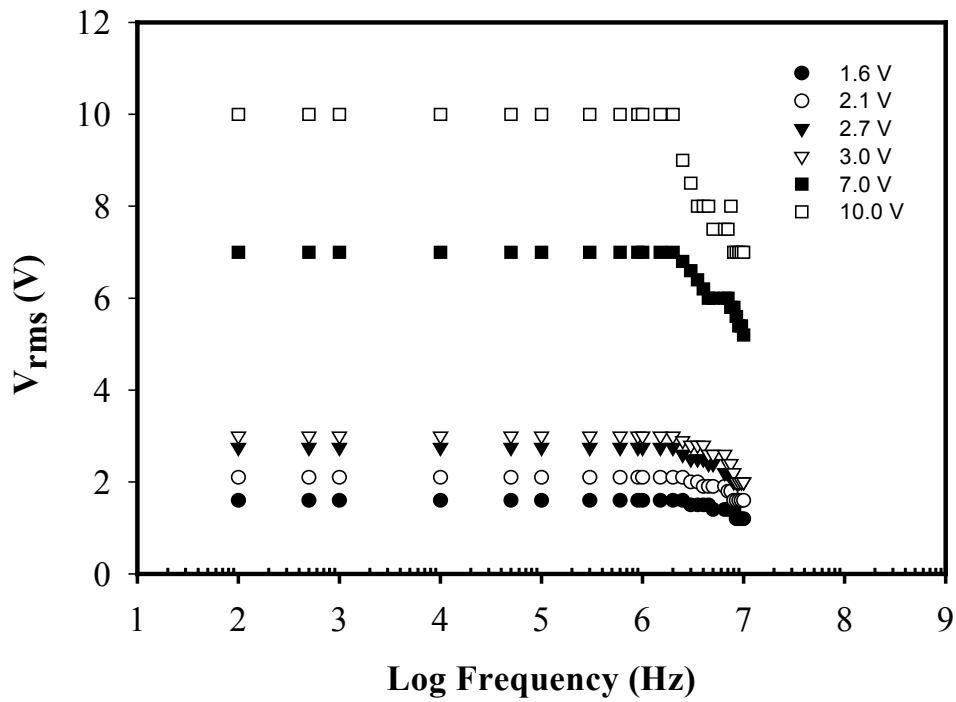


4 MHz



5 MHz

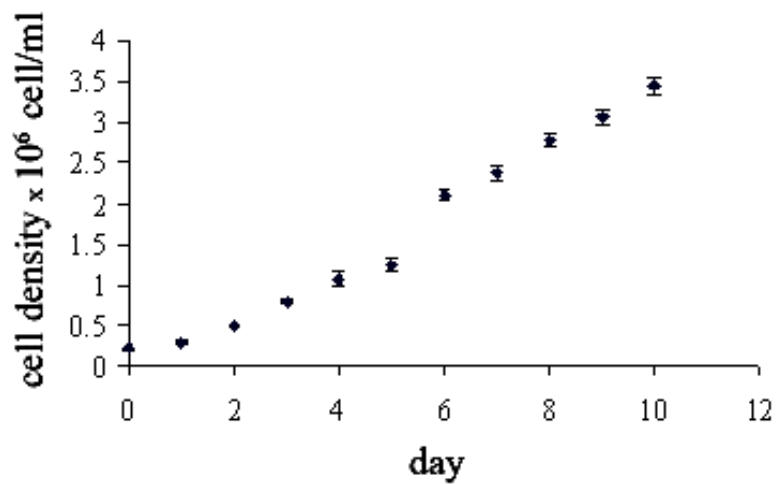
ภาพประกอบ 4.1 สัญญาณไฟฟ้าเอาต์พุตของ PSU2 ที่ความถี่ต่างๆ



ภาพประกอบ 4.2 ค่า  $V_{rms}$  เอาท์พุทของ PSU2 เทียบกับความถี่สัญญาณไฟฟ้า

#### 4.2 การเพาะเลี้ยงเซลล์แพลงก์ตอน *Tetraselmis* sp.

จากการเพาะเลี้ยงตามวิธีในข้อ 3.3.3.1 พบว่าความหนาแน่นของเซลล์เพิ่มขึ้น ตามจำนวนวันที่เพาะเลี้ยง ดังภาพประกอบ 4.3 การนำเซลล์ไปศึกษาวิจัยจึงเลือกเซลล์ที่มีอายุ 3 วันเนื่องจากกำลังเจริญเติบโตได้ดี จากภาพประกอบ 3.5 พบว่าเซลล์อายุ 3 วันจะมีความกว้าง  $a = 14.0 \pm 0.8$  ไมครอน และความยาว  $b = 9.4 \pm 0.8$  ไมครอน



ภาพประกอบ 4.3 การเพิ่มจำนวนของแพลงก์ตอน *Tetraselmis* sp.

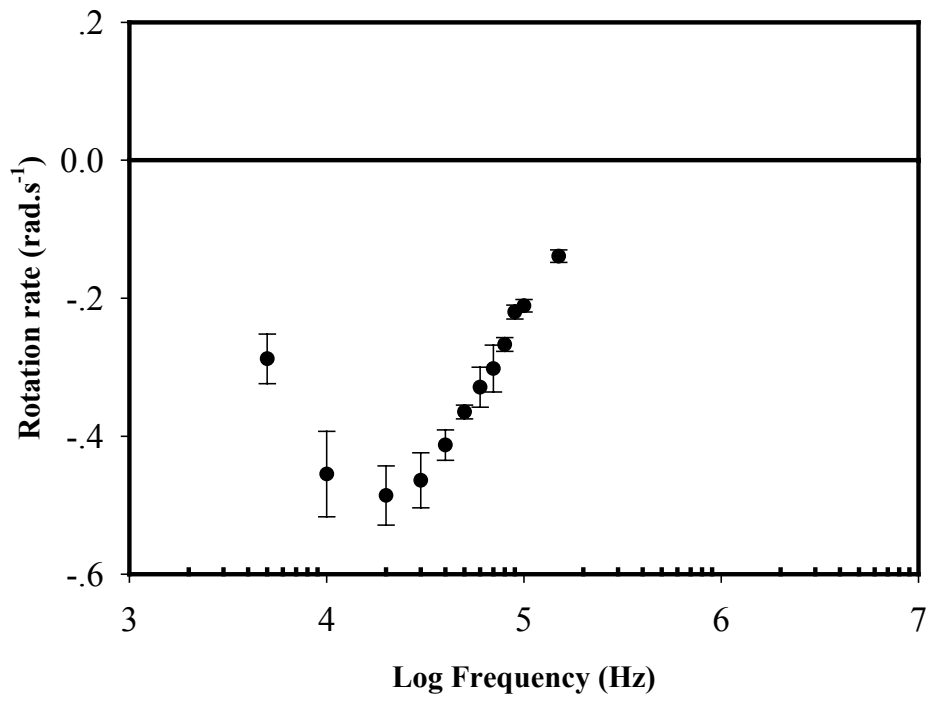
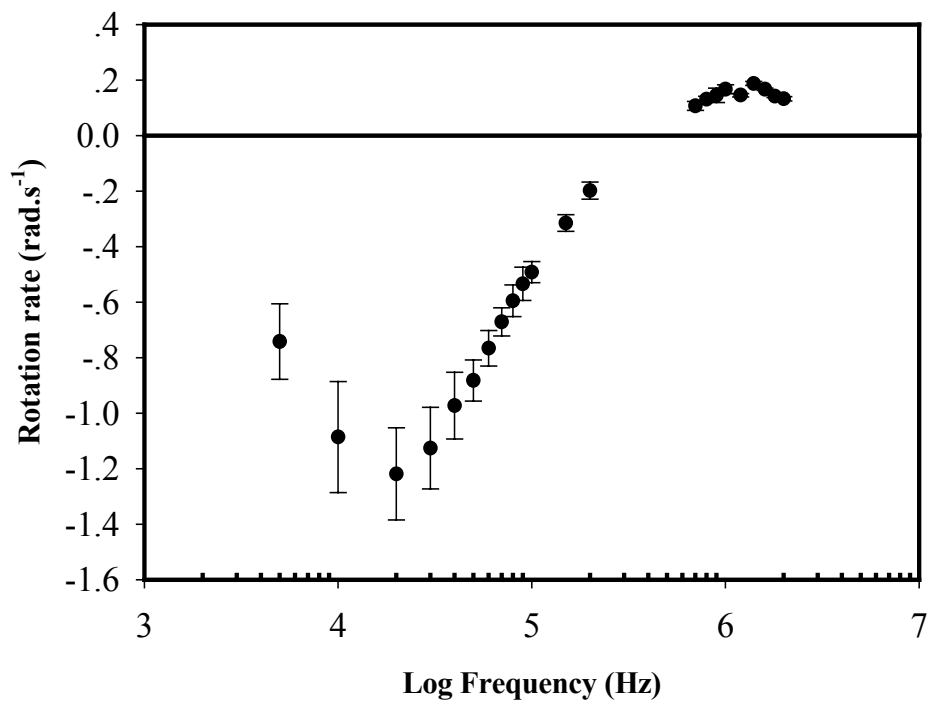
### 4.3 การหมุนของเซลล์ แพลงก์ตอน *Tetraselmis* sp. ในสนามไฟฟ้า

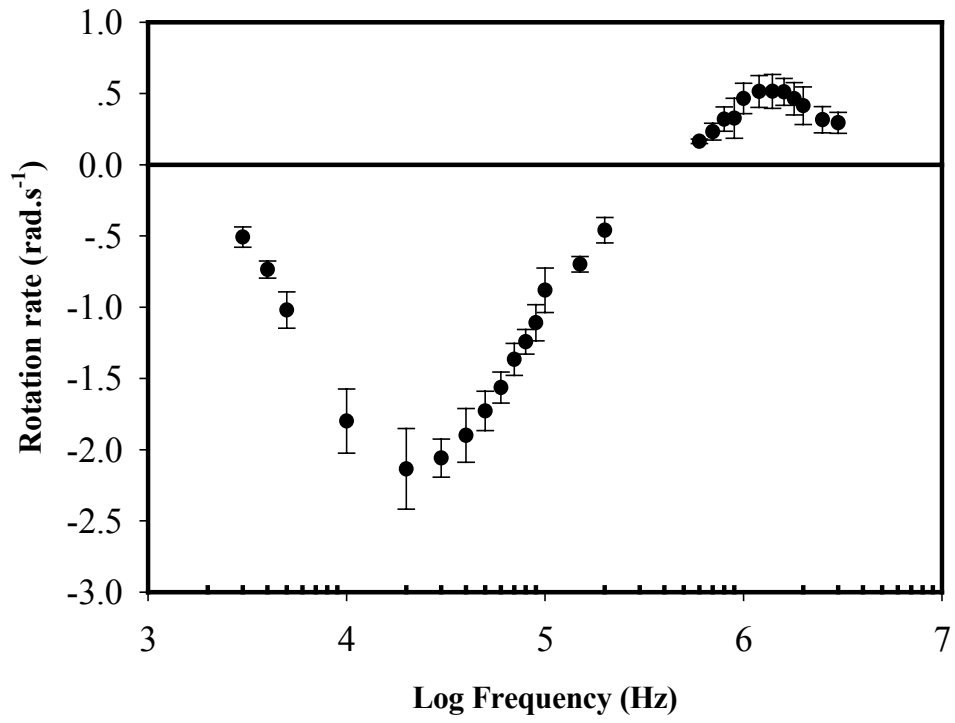
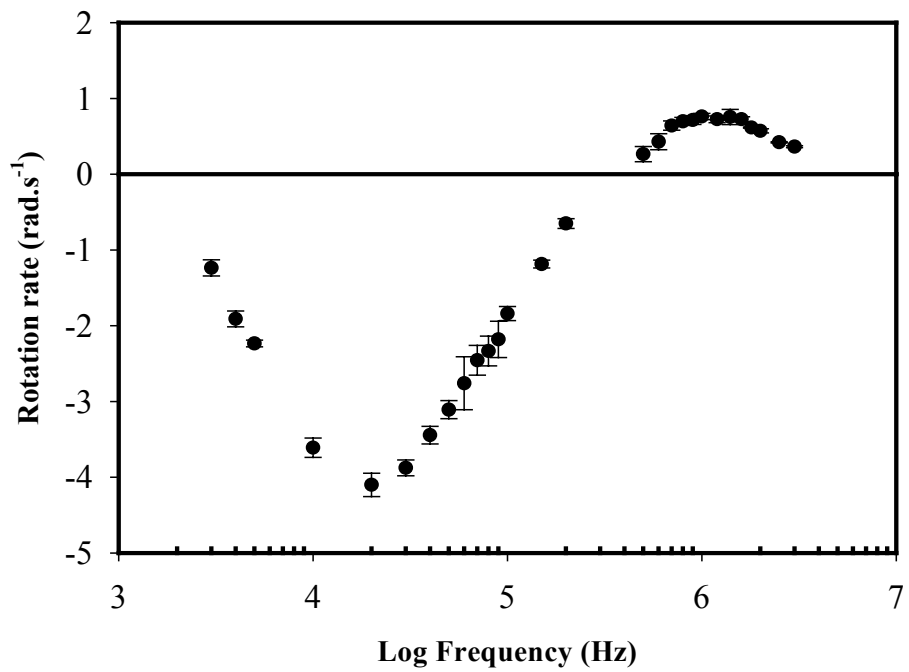
ทดลองหมุนเซลล์โดยใช้ PSU2 และขั้วไฟฟ้าที่ทำขึ้นในข้อ 3.3.1 และ 3.3.2 เปลี่ยนความเข้มสนามไฟฟ้า 5 ค่า สภาพนำไฟฟ้าของสารละลายที่ใช้แขวนลอยเซลล์ 6 ค่า แบ่งการศึกษาเป็นหัวข้อดังนี้

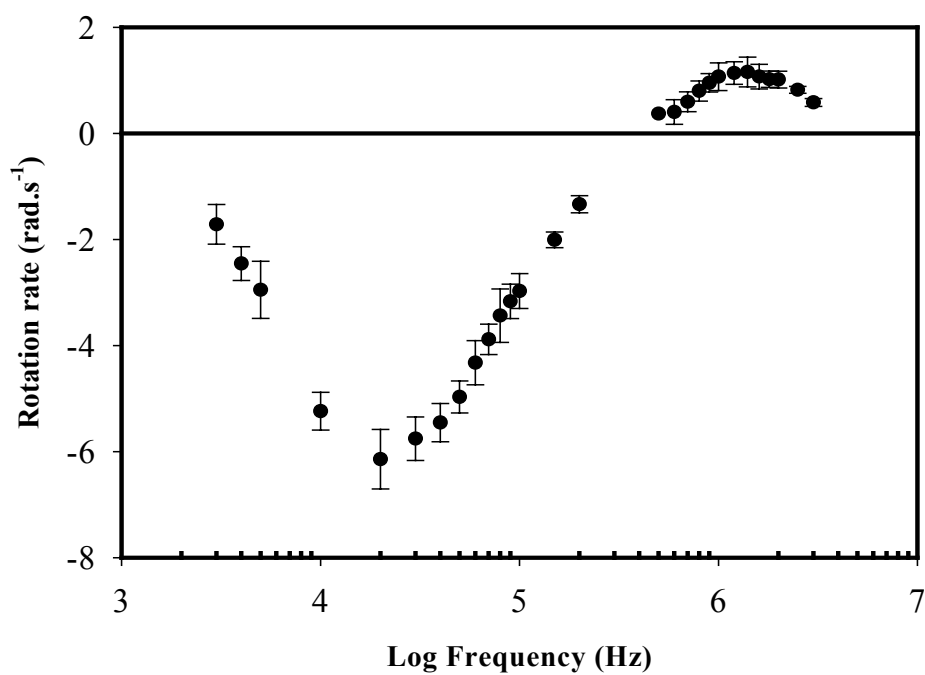
#### 4.3.1 ผลของความเข้มสนามไฟฟ้าต่อการหมุนของเซลล์

ปรับอัมพลิจูดของสัญญาณไฟฟ้าของ PSU2 มีค่าคือ 5,7,10,12 และ 14 Vpp ซึ่งได้ค่าสนามไฟฟ้าคือ 4.7, 6.6, 9.4, 11.3 และ 13.2 kV.m<sup>-1</sup> ตามลำดับโดยให้สภาพนำไฟฟ้าของสารละลาย ( $\sigma_s$ ) คงที่คือ 1.4 mS.m<sup>-1</sup> ในเบื้องต้นพบว่าที่ความถี่สนามไฟฟ้าต่ำกว่า 3 kHz เซลล์มีอัตราหมุนช้ามาก จึงเริ่มบันทึกข้อมูลที่ความถี่ 3 kHz เป็นต้นไป จากการเพิ่มความเข้มสนามไฟฟ้าในช่วงดังกล่าวทำให้ อัตราหมุน  $R_1$  ของเซลล์เพิ่มขึ้นจาก 0.49 rad.s<sup>-1</sup> เป็น 6.14 rad.s<sup>-1</sup> ดังภาพประกอบ 4.4 a,b,c,d และ e ผลการทดลองที่สนามไฟฟ้า 4.7 kV.m<sup>-1</sup> ไม่พบค่า  $R_2$  ของเซลล์ทั้งที่ทำการทดลองซ้ำ 5 ครั้ง และ  $R_2$  จะเพิ่มขึ้นจาก 0.18 rad.s<sup>-1</sup> เป็น 1.16 rad.s<sup>-1</sup> เมื่อให้สนามไฟฟ้าจาก 6.6 kV.m<sup>-1</sup> ถึง 13.2 kV.m<sup>-1</sup> เป็นที่น่าสังเกตว่าการเพิ่มสนามไฟฟ้าในช่วงที่ศึกษา ไม่ทำให้ค่า  $fc_1$ ,  $fc_2$  และ  $fc_0$  เปลี่ยนแปลง ดังแสดงค่า  $R_1$ ,  $fc_1$ ,  $fc_0$ ,  $R_2$  และ  $fc_2$  ของเซลล์ในตาราง 4.1

เมื่อพิจารณาจากสมการที่ 2.14 ซึ่งให้เห็นว่า อัตราการหมุนของเซลล์ ( $\Omega$ ) สัมพันธ์เชิงเส้นกับ  $E^2$  จึงเขียนกราฟระหว่างอัตราหมุนสูงสุด  $R_1$  และ  $R_2$  เทียบกับ  $E^2$  จากภาพประกอบ 4.5 พบความสัมพันธ์เชิงเส้นเฉพาะที่ความถี่ 1.4 MHz เท่านั้น ที่ความถี่ต่ำความสัมพันธ์เชิงเส้นเป็นจริงเฉพาะที่  $E^2$  สูงกว่า  $4.3 \times 10^7$  V<sup>2</sup>.m<sup>-2</sup> หรือเมื่อใช้สนามไฟฟ้าสูงกว่า 6.6 kV.m<sup>-1</sup> (ค่าวิกฤติ) เนื่องจากเงื่อนไขดังกล่าวทำให้  $\tau_f = \bar{\tau}$  ส่วนสนามที่มีค่าต่ำกว่าค่าวิกฤติ  $\tau_f > \bar{\tau}$  จึงไม่ใช่เงื่อนไขสมดุลการหมุน ในการศึกษาต่อไปจึงเลือกใช้สนามไฟฟ้าที่ 11.3 kV.m<sup>-1</sup> ทั้งนี้หากเพิ่มความเข้มสนามไฟฟ้าให้มากกว่า 13.2 kV.m<sup>-1</sup> น่าจะทำให้อัตราหมุนของเซลล์เพิ่มขึ้น และอัตราหมุนของเซลล์จะแปรผันตรงกับสนามไฟฟ้ากำลังสองหรือไม่ ดังนั้นจึงน่าจะมีการศึกษาผลของสนามไฟฟ้าต่อเซลล์ต่อไป

(a) 4.7 kV.m<sup>-1</sup>(b) 6.6 kV.m<sup>-1</sup>

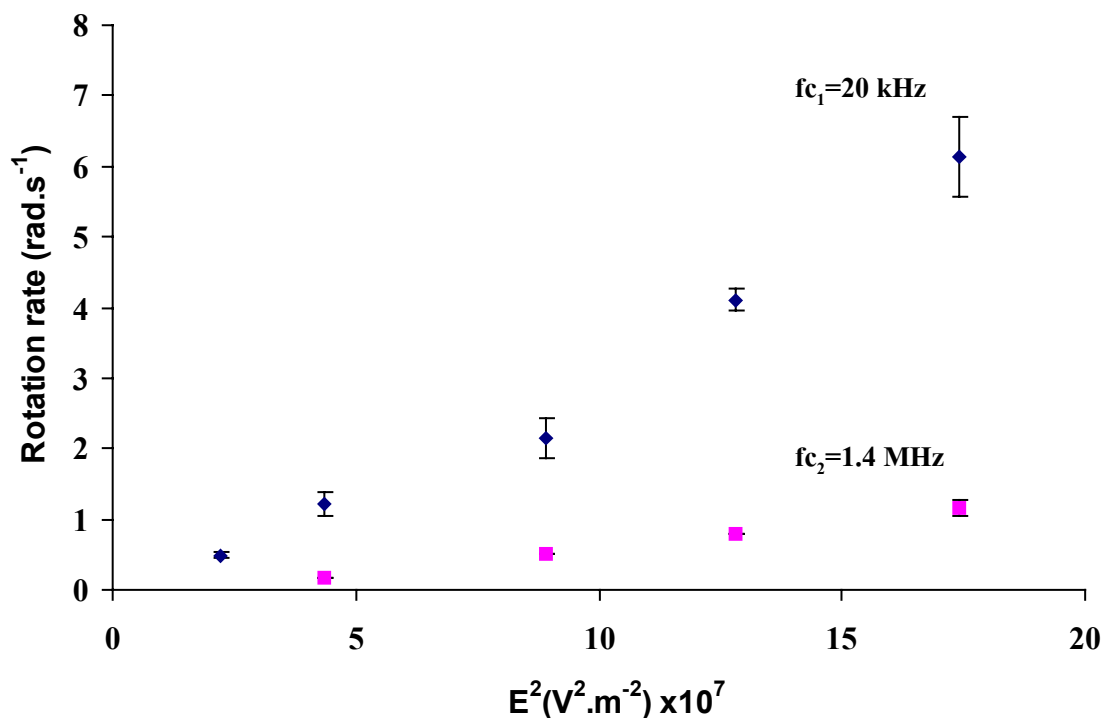
(c) 9.4 kV.m<sup>-1</sup>(d) 11.3 kV.m<sup>-1</sup>



ภาพประกอบ 4.4 เปรียบเทียบอัตราหมุนของเซลล์แพลงก์ตอน *Tetraselmis* sp. โดย  
ผันแปรความเข้มสนามไฟฟ้าเฉลี่ยจาก 5 การทดลอง

ตาราง 4.1 แสดงค่า  $R_1$ ,  $fc_1$ ,  $fc_0$ ,  $R_2$  และ  $fc_2$  ของเซลล์ที่สนามไฟฟ้าขนาดต่างๆ

V	5 Vpp	7 Vpp	10 Vpp	12 Vpp	14 Vpp
E	(4.7 kV.m <sup>-1</sup> )	(6.6 kV.m <sup>-1</sup> )	(9.4 kV.m <sup>-1</sup> )	(11.3 kV.m <sup>-1</sup> )	(13.2 kV.m <sup>-1</sup> )
$R_1$ (rad.s <sup>-1</sup> )	0.49	1.22	2.14	4.10	6.14
$fc_1$ (kHz)	20	20	20	20	20
$fc_0$ (kHz)	-	300	300	300	300
$R_2$ (rad.s <sup>-1</sup> )	-	0.18	0.52	0.79	1.16
$fc_2$ (MHz)	-	1.4	1.4	1.4	1.4



ภาพประกอบ 4.5 แสดงอัตราหมุนของเซลล์เพลงก์ตอนเทียบกับสนามไฟฟ้ากำลังสอง เฉลี่ย จาก 5 การทดลอง

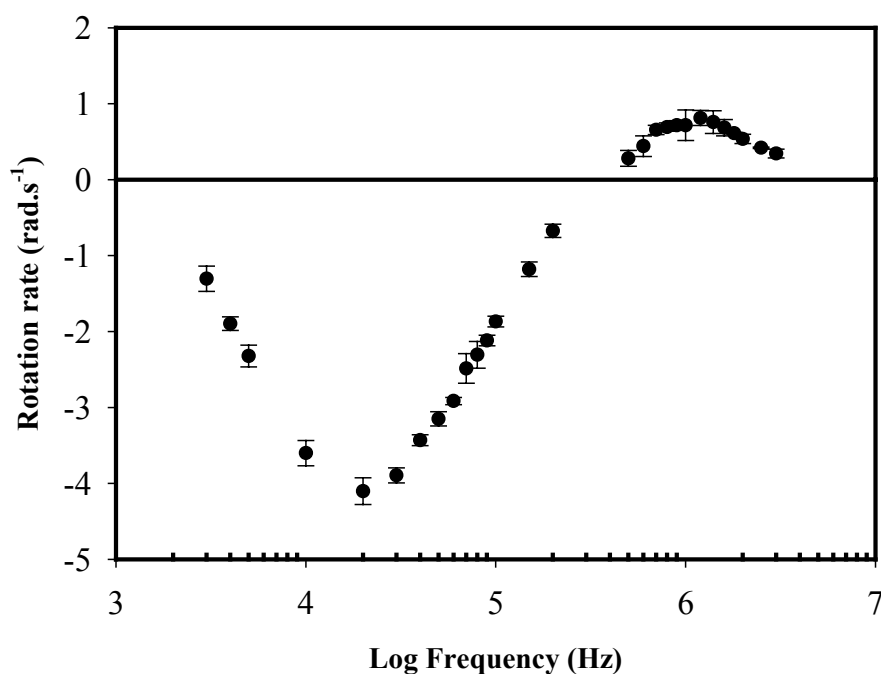
#### 4.3.2 ผลของค่าสภาพนำไฟฟ้าของสารละลายต่ออัตราหมุนของเซลล์มีชีวิต

การเตรียมเซลล์มีชีวิตตามวิธีในบทที่ 3 ข้อ 3.3.3.2 ทำการทดลองเช่นเดียวกับวิธีในข้อ 4.3.1 โดยคงสนามไฟฟ้าที่  $11.3 \text{ kV} \cdot \text{m}^{-1}$  เปลี่ยนค่า  $\sigma_s = 1.4, 5, 10, 15, 18$  และ  $24 \text{ mS} \cdot \text{m}^{-1}$  พบอัตราหมุน  $R_1$  และ  $R_2$  ของเซลล์มีขนาดลดลง เมื่อ  $\sigma_s$  เพิ่มขึ้นและ  $fc_1, fc_2$  เลื่อนไปทางความถี่ที่สูงขึ้น ดังภาพประกอบ 4.6 a,b,c,d,e และ f ผลสรุปค่า  $R_1, fc_1, fc_0, R_2$  และ  $fc_2$  ของเซลล์แสดงในตาราง 4.2 จะพบว่าการเพิ่มค่าสภาพนำไฟฟ้าของสารละลายที่ใช้แขวนลอยเซลล์ทำให้ค่า  $R_1$  ลดลงจาก  $4.10 \text{ rad} \cdot \text{s}^{-1}$  เป็น  $3.46 \text{ rad} \cdot \text{s}^{-1}$  และความถี่เฉพาะตัว ค่อยๆเลื่อนไปทางความถี่ที่สูงขึ้น ทั้งนี้ไม่พบ  $R_2, fc_2$  และ  $fc_0$  ที่  $\sigma_s$  มากกว่า  $10 \text{ mS} \cdot \text{m}^{-1}$  ขึ้นไป อาจเป็นเพราะข้อจำกัดของ PSU2 ที่สัญญาณไฟฟ้าเปลี่ยนรูปหากความถี่มากกว่า 3 MHz

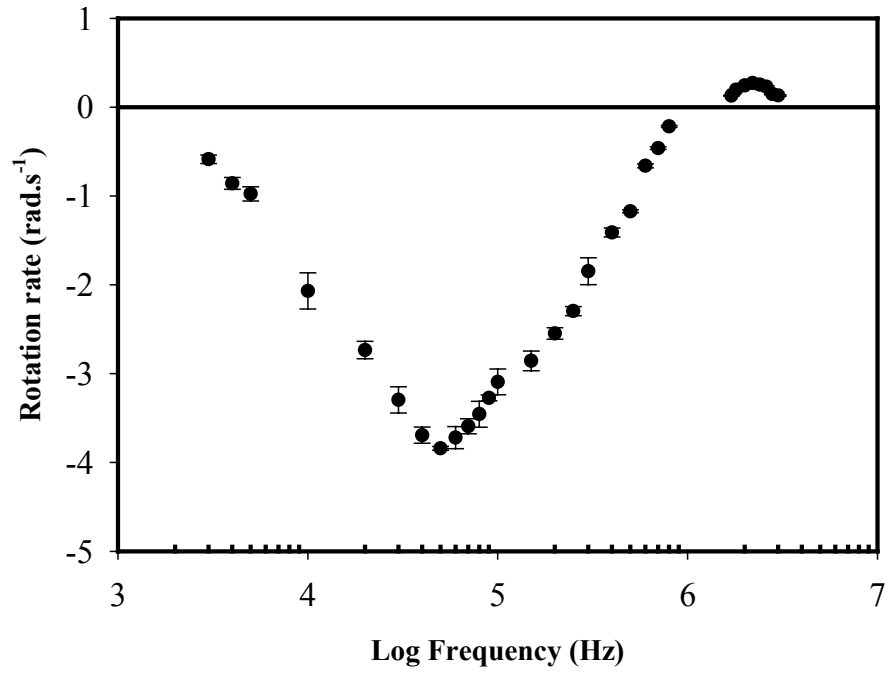
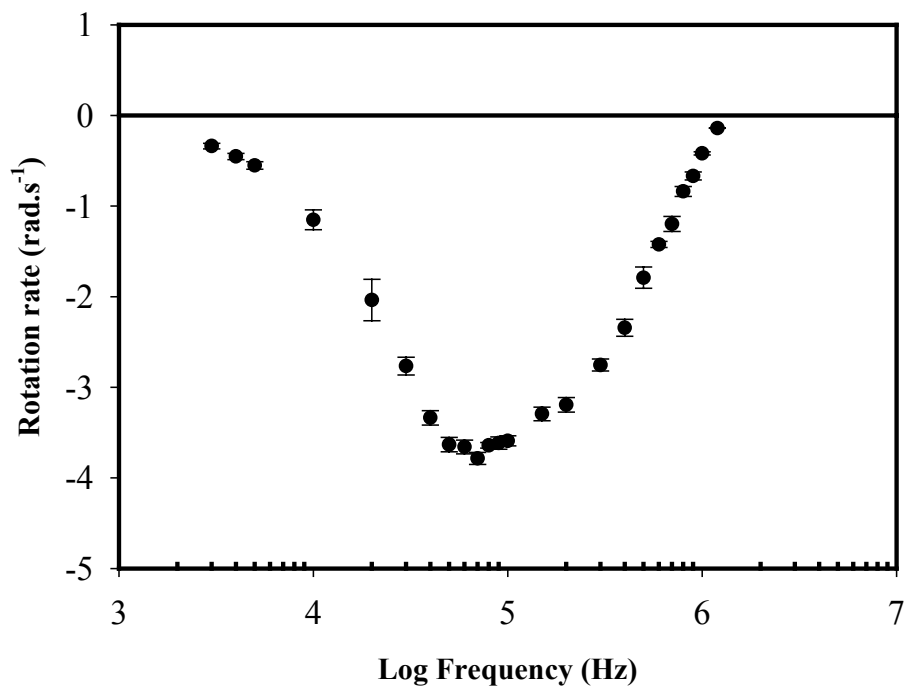
ในงานวิจัยนี้สอดคล้องกับงานวิจัยอื่นๆหลายงานที่มีลักษณะของการเลื่อนของความถี่  $fc_1$  และ  $fc_2$  ไปยังความถี่ที่สูงขึ้น และการลดลงของอัตราหมุน  $R_1$  และ  $R_2$  ของเซลล์ เช่น Wicher และ Gudel (1989) ศึกษาอัตราหมุนของเซลล์ไลโปโซมที่แขวนลอยในสารละลายที่มีสภาพนำไฟฟ้าตั้งแต่  $1.4 - 6.5 \text{ mS} \cdot \text{m}^{-1}$  พบว่าค่า  $fc_1$  และ  $fc_2$  เพิ่มขึ้นจาก 10 kHz เป็น 40 kHz และค่า  $R_1$  ลดลงจาก  $0.9 \text{ rad} \cdot \text{s}^{-1}$

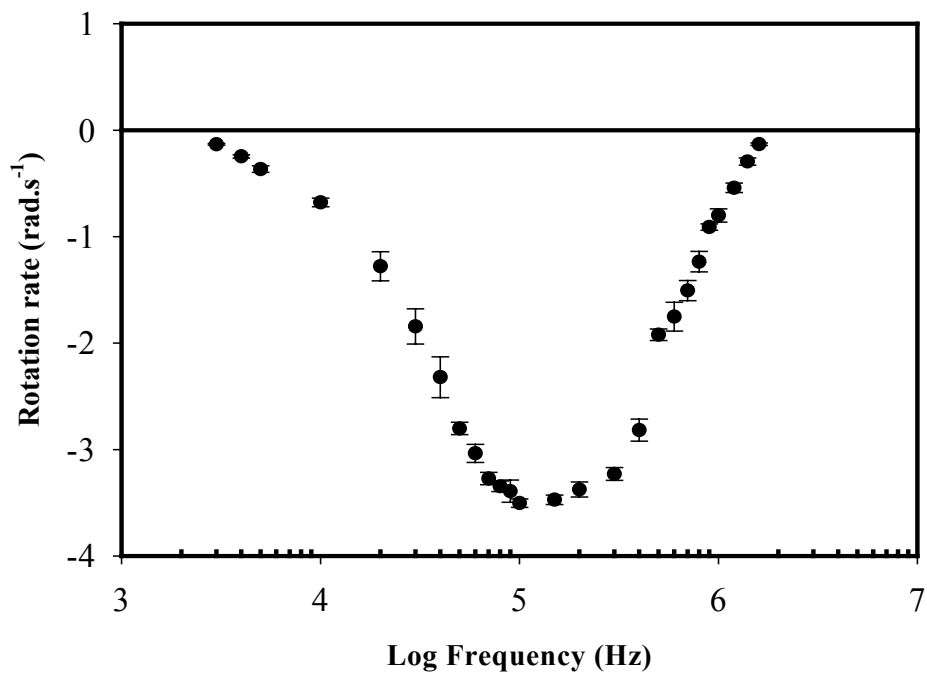
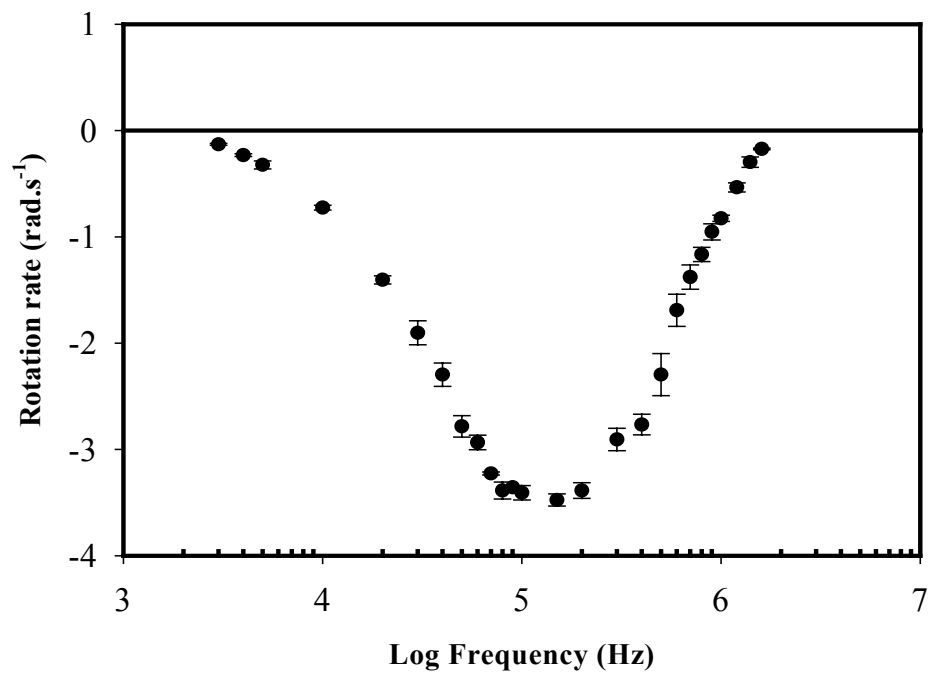


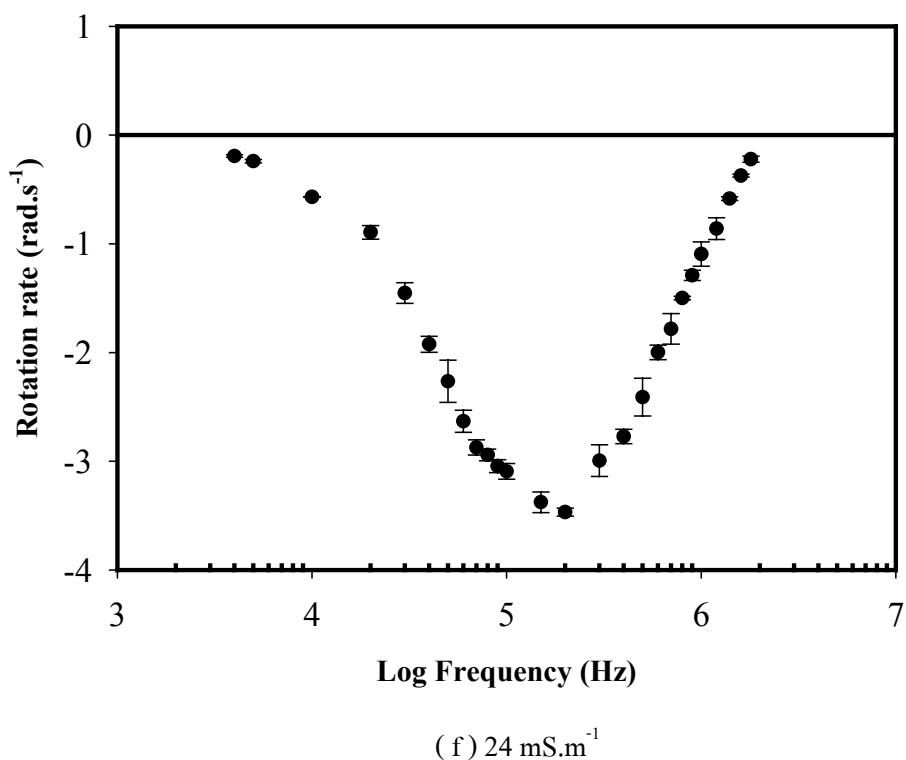
เป็น  $0.2 \text{ rad.s}^{-1}$ , Kakutani และคณะ ( 1993 ) ศึกษาโพทโทพลาของไบบาร์เลย์ ในสารละลายที่มีสภาพนำไฟฟ้า  $\sigma_s = 5.33 \text{ mS.m}^{-1}$  และ  $11.0 \text{ mS.m}^{-1}$  พบว่าค่า  $fc_1$  และ  $fc_2$  เพิ่มขึ้นจาก 20 kHz เป็น 50 kHz และพบค่า  $R_1$  ลดลงจาก  $4.9 \text{ rad.s}^{-1}$  เป็น  $3.5 \text{ rad.s}^{-1}$  และ Kriegmaier และคณะ ( 2001 ) ศึกษาเซลล์ยีสต์ *Schizosaccharomyces pombe* ที่ผันแปรค่า  $\sigma_s$  ตั้งแต่ 11 ถึง  $600 \text{ mS.m}^{-1}$  พบว่าค่า  $fc_1$  และ  $fc_2$  เพิ่มขึ้นจาก 10 kHz เป็น 1.6 MHz และยังพบค่า  $R_1$  ลดลงจาก  $2.4 \text{ rad.s}^{-1}$  เป็น  $0.8 \text{ rad.s}^{-1}$  เป็นที่น่าสังเกตคือ เซลล์ไลโปโซมซึ่งไม่มีผนังเซลล์ใช้สารละลายที่แขวนลอยเซลล์ที่มี  $\sigma_s$  น้อย ( $\sigma_s = 6.5 \text{ mS.m}^{-1}$ ) พบ  $R_1$  ลดลงอย่างชัดเจน ขณะที่โพทโทพลาของไบบาร์เลย์ และ เซลล์ยีสต์ ซึ่งมีผนังเซลล์ต้องใช้  $\sigma_s$  ก่อนข้างสูง ( $\sigma_s = 11.0$  และ  $600 \text{ mS.m}^{-1}$  ตามลำดับ ) จึงจะเห็นการลดลงของค่า  $R_1$  ได้ชัดเจน



( a )  $1.4 \text{ mS.m}^{-1}$

(b) 5 mS.m<sup>-1</sup>(c) 10 mS.m<sup>-1</sup>

(d) 15 mS.m<sup>-1</sup>(e) 18 mS.m<sup>-1</sup>



ภาพประกอบ 4.6 เปรียบเทียบอัตราหมุนของเซลล์แพลงก์ตอน *Tetraselmis* sp. มีชีวิต โดยผันแปรค่า  $\sigma_s$  เฉลี่ยจาก 5 การทดลอง

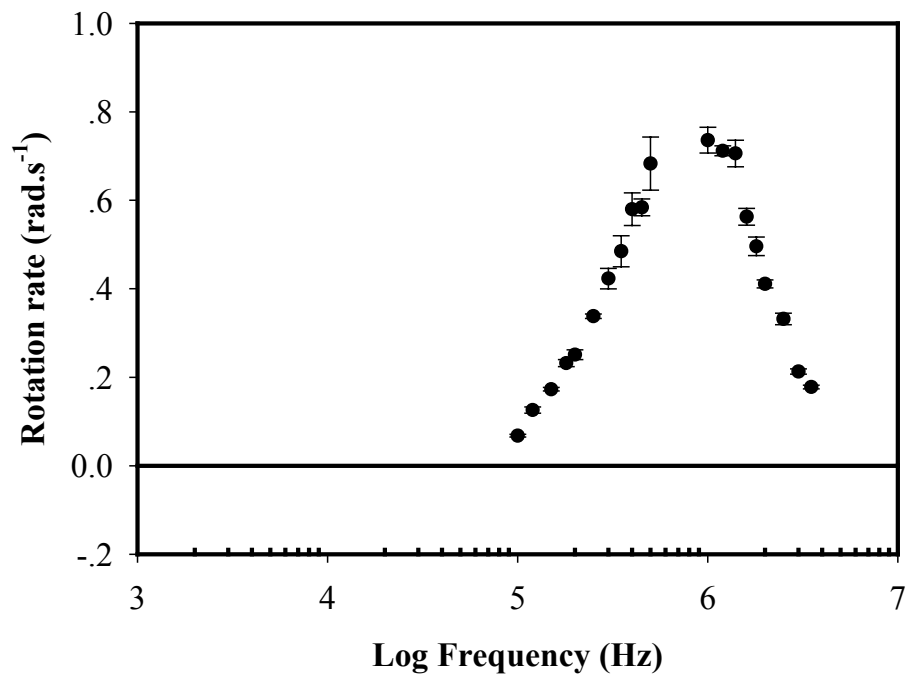
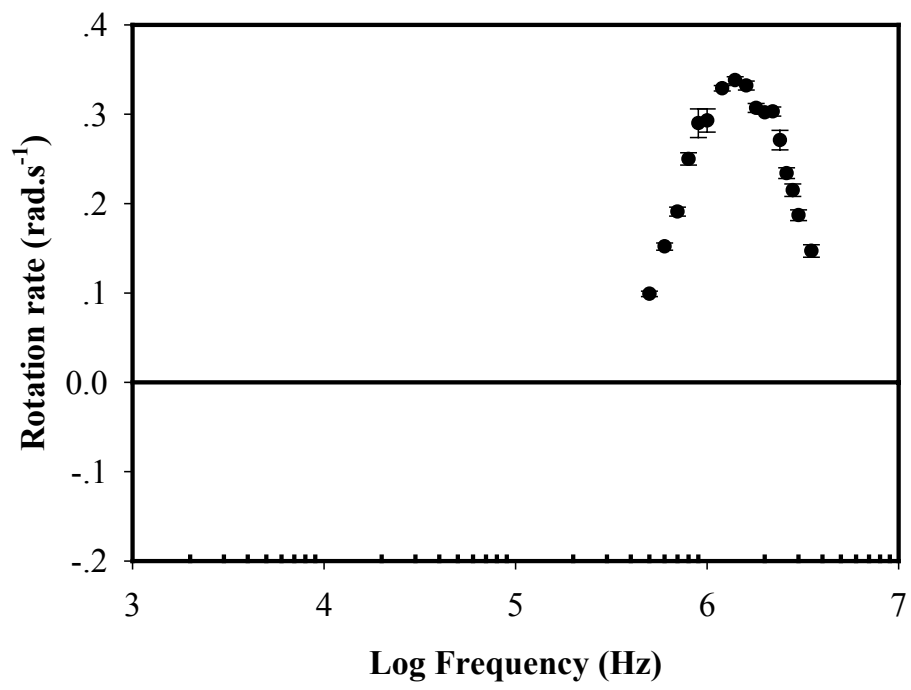
ตาราง 4.2 แสดงค่า  $R_1$ ,  $fc_1$ ,  $fc_0$ ,  $R_2$  และ  $fc_2$  ของเซลล์มีชีวิต โดยผันแปรค่า  $\sigma_s$  ต่างๆ เฉลี่ยจาก 5 การทดลอง

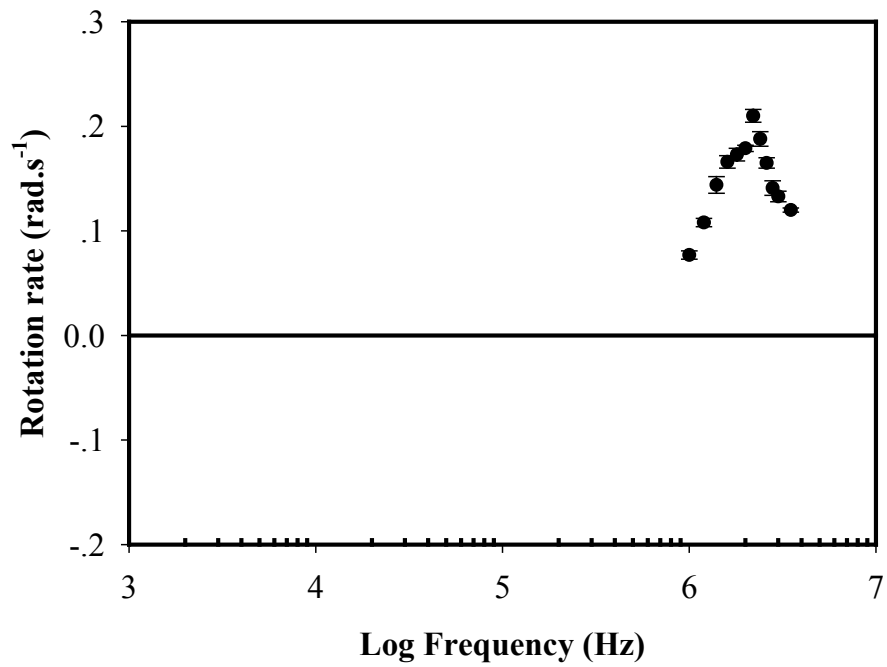
$\sigma_s$	1.4	5	10	15	18	24
	mS.m <sup>-1</sup>	mS.m <sup>-1</sup>	mS.m <sup>-1</sup>	mS.m <sup>-1</sup>	mS.m <sup>-1</sup>	mS.m <sup>-1</sup>
$R_1$ (rad.s <sup>-1</sup> )	4.10	3.84	3.76	3.48	3.46	3.46
$fc_1$ (kHz)	20	50	70	100	150	200
$fc_0$ (kHz)	300	900	-	-	-	-
$R_2$ (rad.s <sup>-1</sup> )	0.76	0.27	-	-	-	-
$fc_2$ (MHz)	1.4	2.4	-	-	-	-

#### 4.3.3 ผลของค่าสภาพนำไฟฟ้าของสารละลายต่ออัตราหมุนของเซลล์ตาย

การศึกษานี้ต้องการทดสอบว่า เทคนิคการหมุนเซลล์ในสนามไฟฟ้า สามารถนำไปใช้วินิจฉัยการมีชีวิตของเซลล์ได้หรือไม่ จึงทำการทดลองกับเซลล์ตาย ซึ่งเตรียมเซลล์ตามวิธีในบทที่ 3 ข้อ 3.3.3.2 ทำการทดลองเช่นเดียวกับวิธีที่บรรยาย ในข้อ 4.3.2 และใช้สนามไฟฟ้าขนาด  $11.3 \text{ kV.m}^{-1}$  ผลการทดลองไม่พบอัตราหมุน  $R_1$  และ  $fc_1$  ที่ทุกค่า  $\sigma_s$  ระหว่าง  $1.4$  ถึง  $10 \text{ mS.m}^{-1}$  โดยเซลล์จะเริ่มหมุนที่ความถี่  $100 \text{ kHz}$  อัตราหมุน  $R_2$  ค่อยๆลดลงเมื่อเพิ่ม  $\sigma_s$  และ  $fc_2$  เลื่อนไปทางความถี่สูงขึ้นด้วยทำนองเดียวกับที่พบในเซลล์ที่มีชีวิต ดังภาพประกอบ 4.7 a,b และ c ผลสรุปของการทดลองนี้ได้แสดงในตาราง 4.3 นอกจากนี้ได้ทำการทดลองที่  $\sigma_s$  สูงกว่า  $10 \text{ mS.m}^{-1}$  พบว่าอัตราการหมุน  $R_2$  มีค่าน้อยมากจึงไม่ได้ทำการบันทึกผล

การพบค่า  $R_1$  ของเซลล์ชุดควบคุมมีค่าสูงกว่า  $R_1$  ของเซลล์ตาย สอดคล้องกับการศึกษาในซิสต์ของปรสิต *Giardia muris* และ *Cyclospora cayentamensis* (Dalton *et al.*, 2001) ทำนองเดียวกัน การต้มเซลล์ยีสต์ที่อุณหภูมิระหว่าง  $21^\circ\text{C}$  จนถึง  $44^\circ\text{C}$  ของ Zhou และคณะ (1998) พบว่า  $R_1$  ค่อยๆลดลงตามอุณหภูมิที่เพิ่มขึ้น ขณะที่งานวิจัยนี้ต้มเซลล์ที่อุณหภูมิสูงถึง  $80^\circ\text{C}$  น่าจะเป็นผลให้ค่า  $R_1$  ต่ำมากจนไม่สามารถตรวจวัดได้ในช่วงเวลาที่ทดลอง

(a) 1.4 mS.m<sup>-1</sup>(b) 5 mS.m<sup>-1</sup>

(c)  $10 \text{ mS.m}^{-1}$ 

ภาพประกอบ 4.7 เปรียบเทียบอัตราหมุนของเซลล์แพลงก์ตอน *Tetraselmis* sp. ที่ตาย โดยผันแปรค่า  $\sigma_s$  เฉลี่ยจาก 5 การทดลอง

ตาราง 4.3 แสดงค่า  $R_2$  และ  $fc_2$  ของเซลล์ตายโดยผันแปรค่า  $\sigma_s$  ต่างๆ เฉลี่ยจาก 5 การทดลอง

$\sigma_s$	1.4	5	10
	$\text{mS.m}^{-1}$	$\text{mS.m}^{-1}$	$\text{mS.m}^{-1}$
$R_2$ ( $\text{rad.s}^{-1}$ )	0.74	0.34	0.21
$fc_2$ (MHz)	1	1.4	2.2

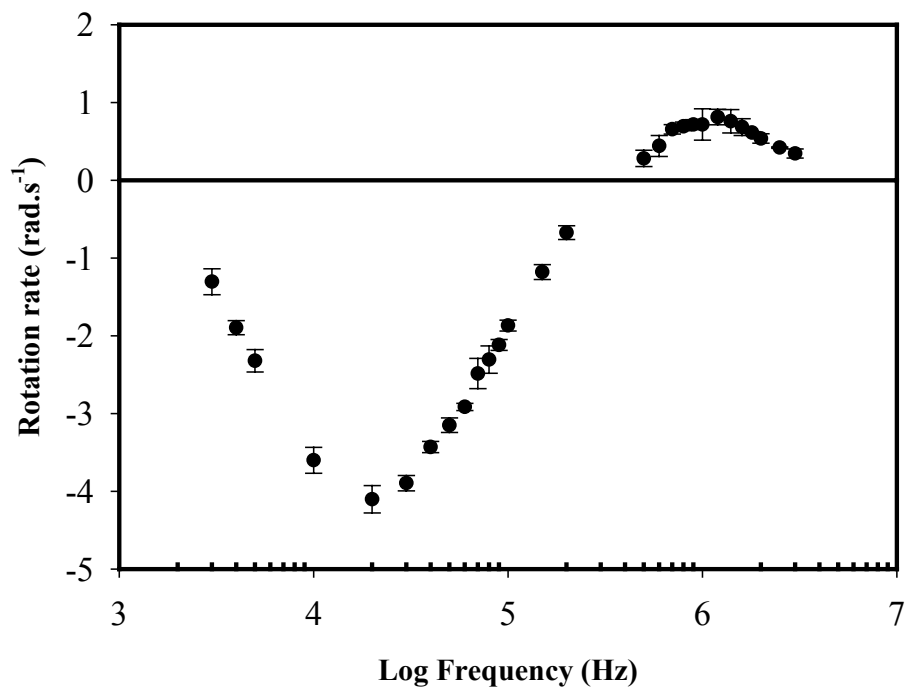
#### 4.4 ผลของสารหนูต่อการหมุนของเซลล์

เพื่อศึกษาพฤติกรรมของเซลล์ที่ปนเปื้อนสารหนูในสนามไฟฟ้าแบบหมุน หัวข้อนี้จะเตรียมเซลล์ที่ปนเปื้อนสารหนูตามวิธีการ ในบทที่ 3 ข้อ 3.3.3.3 ทำการทดลองเช่นเดียวกับวิธีในข้อ 4.3.1 โดยคงสนามไฟฟ้าที่  $11.3 \text{ kV.m}^{-1}$  ซึ่งจากผลการทดลองในข้อ 4.3.2 พบว่าเมื่อ  $\sigma_s$  เพิ่มสูงขึ้น อัตราหมุนของเซลล์จะลดลงและเลื่อนไปทางความถี่สูง เพื่อให้ผลการทดลองมีความชัดเจน ดังนั้นจึงเลือกใช้  $\sigma_s = 1.40 \text{ mS.m}^{-1}$  และใช้สารละลายที่มีสารหนูเข้มข้นต่างๆ ( 10 ppm ,30 ppm, 50 ppm, 70 ppm และ 100 ppm ) พบว่าค่า  $R_1$  มีค่าลดลงแต่  $R_2$  เพิ่มขึ้นดังภาพประกอบ 4.8 a,b,c,d ,e และ f ผลการทดลองได้สรุปค่า  $R_1$  ,  $fc_1$  ,  $fc_0$  ,  $R_2$  และ  $fc_2$  ดังตาราง 4.4 เมื่อความเข้มข้นสารหนูเพิ่มขึ้น พบว่าค่า  $R_1$  ค่อยๆลดลงจาก  $3.38 \text{ rad.s}^{-1}$  เป็น  $0.87 \text{ rad.s}^{-1}$  ขณะที่เซลล์ที่ปนเปื้อนสารหนูจากเข้มข้น 10 ppm ถึง 50 ppm มีค่า  $R_2$  เพิ่มขึ้นจาก  $1.39 \text{ rad.s}^{-1}$  ถึง  $2.29 \text{ rad.s}^{-1}$  และเซลล์ที่ปนเปื้อนสารหนูเข้มข้นจาก 70 ppm ถึง 100 ppm กลับมีค่า  $R_2$  ลดลงจาก  $2.29 \text{ rad.s}^{-1}$  ถึง  $2.06 \text{ rad.s}^{-1}$  มีข้อสังเกตว่า  $fc_1$  ,  $fc_0$  และ  $fc_2$  มีแนวโน้มเลื่อนไปทางความถี่ที่น้อยลง ยกเว้นในเซลล์ที่ปนเปื้อนสารหนู 100 ppm ค่า  $fc_1$  และ  $fc_2$  กลับเพิ่มขึ้น

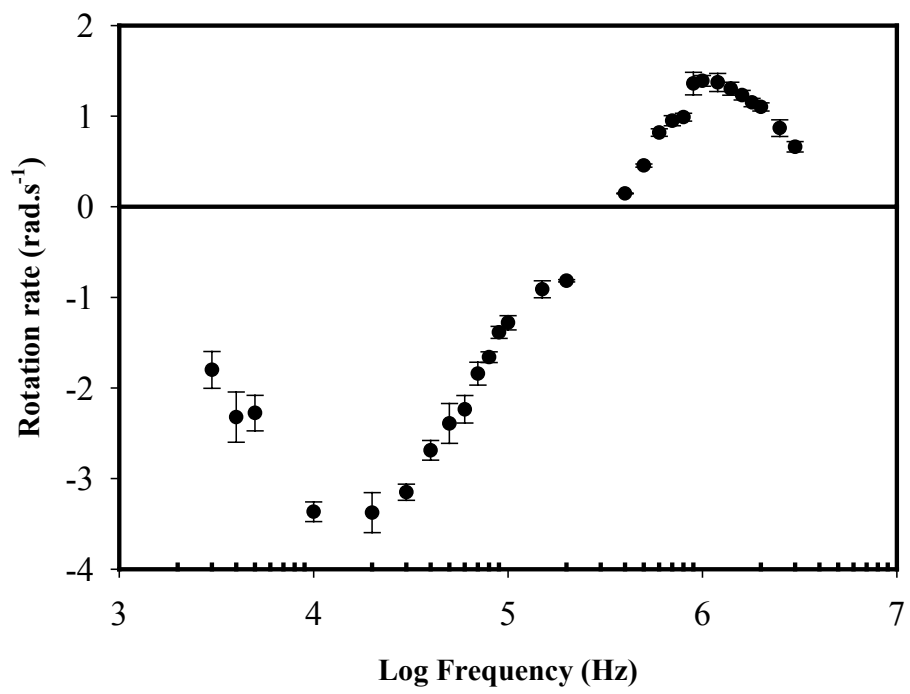
การพบอัตราหมุนเฉพาะที่ความถี่  $fc_2$  ของเซลล์ปนเปื้อนสารหนูระดับ 100 ppm สอดคล้องกับงานของ Geier และคณะ ( 1987 ) ซึ่งรายงานโดยใช้ยีสต์ที่ปนเปื้อน  $\text{HgCl}_2$  0.18 ppm และการพบค่า  $R_1$  ลดลงพร้อมกับการเพิ่มของค่า  $R_2$  เมื่อความเข้มข้นสารหนูเพิ่มขึ้น เป็นไปทำนองเดียวกันกับการรายงานในยีสต์ เช่นกัน โดย Zhou และคณะ (1996) เมื่อเติมสารควบคุมจุลชีวะ(polyhexanide)ถึงระดับ500 ppm

ซึ่งผลการทดลองนี้มีแนวโน้มคล้ายกับเซลล์ตาย ( ข้อ 4.3.3 ) หากเพิ่มความเข้มข้นของสารหนู หรือ เวลาที่แช่เซลล์ให้มากขึ้น จึงคาดว่าค่า  $R_1$  ของเซลล์ที่ปนเปื้อนสารหนู จะไม่ปรากฏทำนองเดียวกับพฤติกรรมของเซลล์ตาย

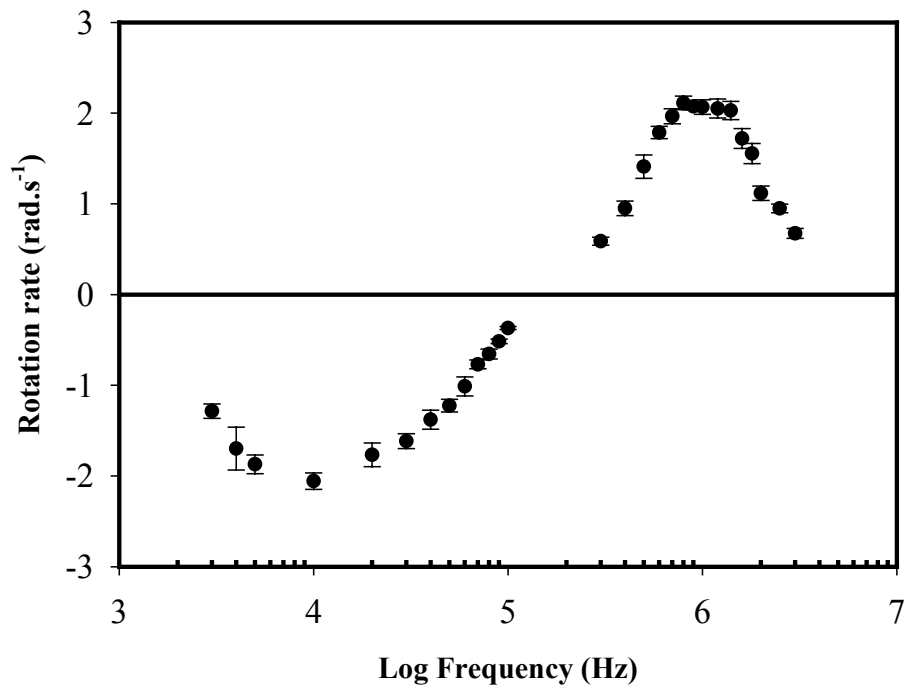




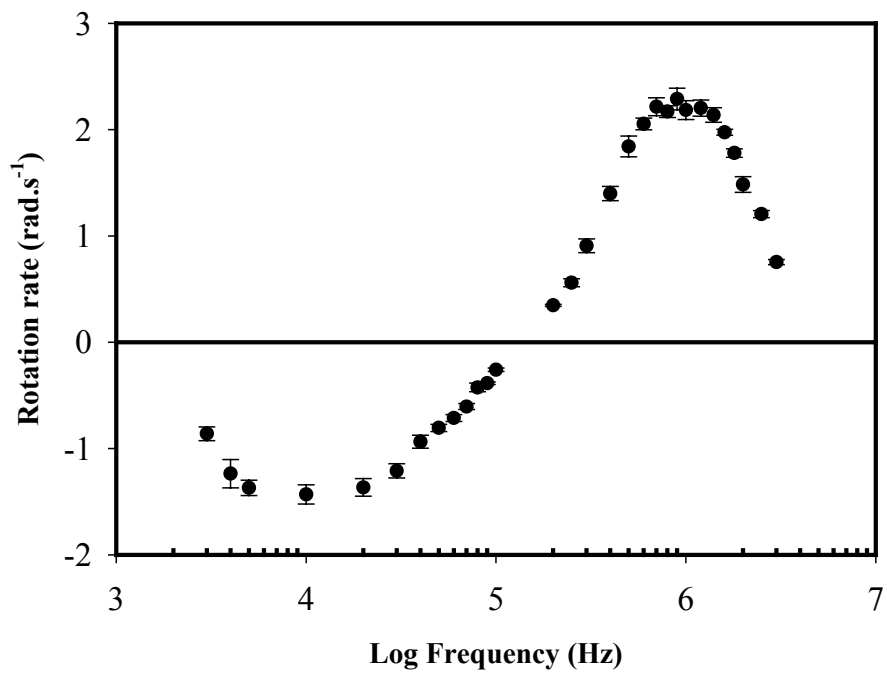
(a) Control



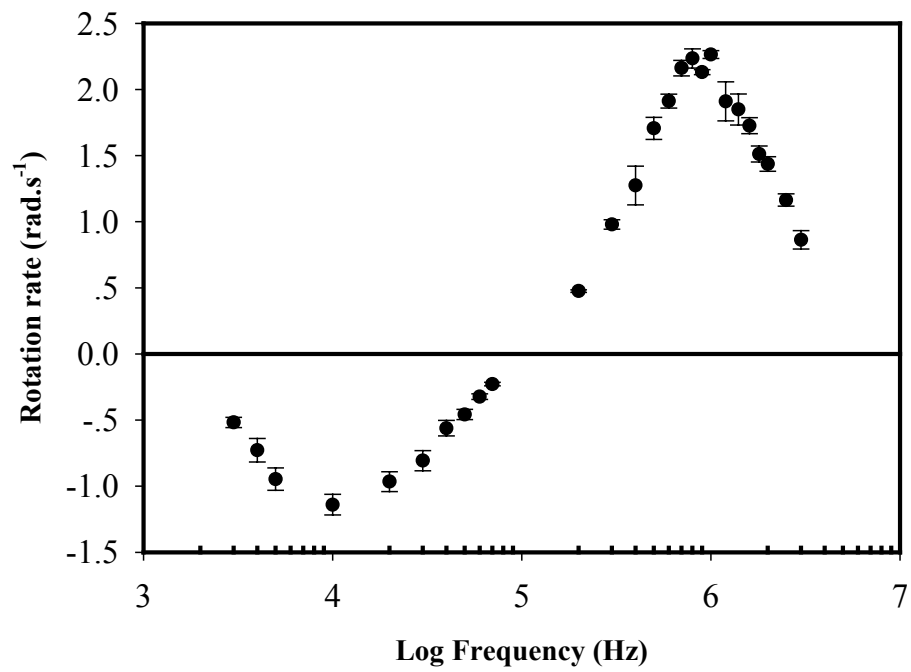
(b) As 10 ppm



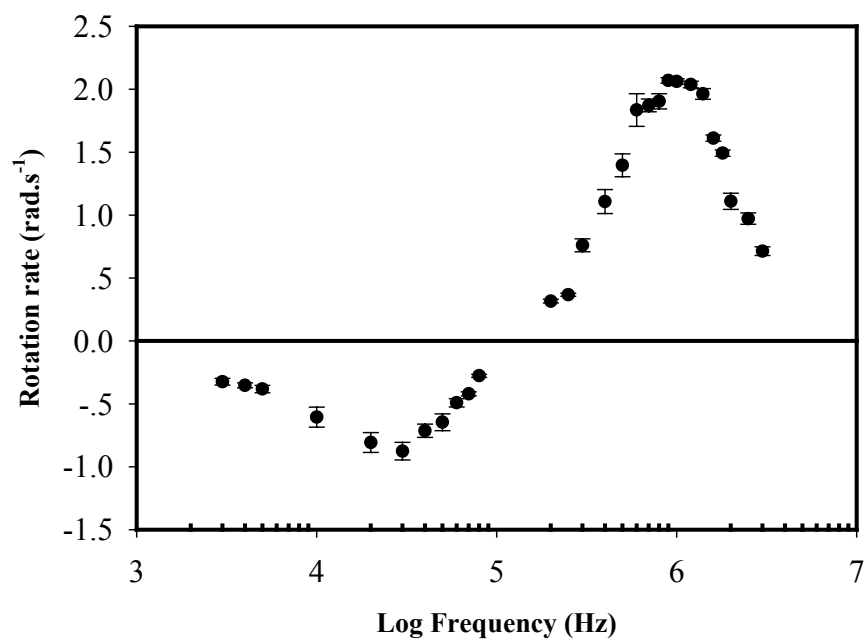
(c) As 30 ppm



(d) As 50 ppm



( d ) As 70 ppm



( d ) As 100 ppm

ภาพประกอบ 4.8 เปรียบเทียบการหมุนของเซลล์เพลงก์ตอน *Tetraselmis* sp. ระหว่าง ชุด control และชุดที่ปนเปื้อนสารหนูในระดับต่างๆ เฉลี่ยจาก 5 การทดลอง

ตาราง 4.4 แสดงค่า  $R_1$ ,  $fc_1$ ,  $fc_0$ ,  $R_2$  และ  $fc_2$  ของเซลล์ที่ปนเปื้อนสารหนูความเข้มข้นต่างๆค่าเฉลี่ย จาก 5 การทดลอง

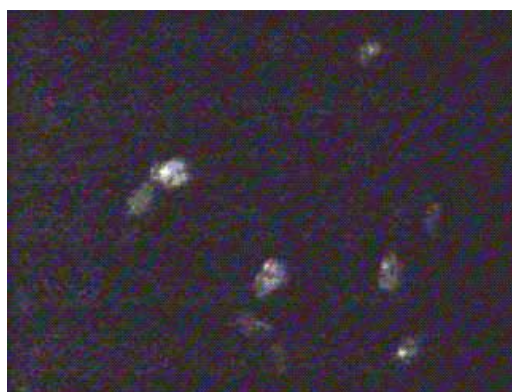
	control	10 ppm	30 ppm	50 ppm	70 ppm	100 ppm
$R_1$ (rad.s <sup>-1</sup> )	4.10	3.38	2.00	1.46	1.13	0.87
$fc_1$ (kHz)	20	20	10	10	10	30
$fc_0$ (kHz)	300	300	300	150	100	100
$R_2$ (rad.s <sup>-1</sup> )	0.76	1.39	2.07	2.29	2.24	2.06
$fc_2$ (MHz)	1.4	1	1	0.9	0.8	1

#### 4.5 ทดสอบการมีชีวิตของเซลล์ *Tetraselmis* sp.

ในงานวิจัยนี้เลือกใช้ 2 วิธีคือ การย้อมสีและการเพาะเลี้ยงเซลล์ โดยมีรายละเอียดดังนี้

##### 4.5.1 ทดสอบการมีชีวิตของเซลล์ *Tetraselmis* sp. โดยใช้สีย้อม

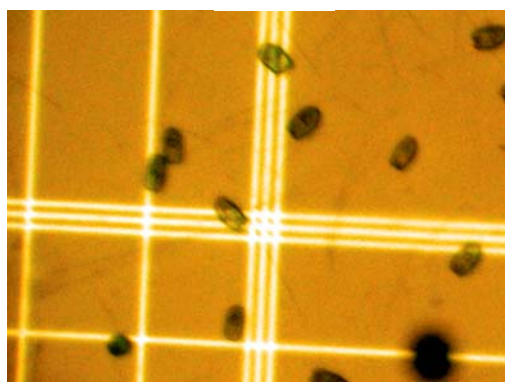
การทดสอบการมีชีวิตของเซลล์ตามวิธีในบทที่ 3 ข้อ 3.3.3.5 เปรียบเทียบระหว่างเซลล์ที่ผ่านการต้ม และไม่ผ่านการต้ม พบว่าเซลล์ที่ติดสีคือเซลล์มีชีวิต (ไม่ผ่านการต้ม) ดังภาพประกอบ 4.9 a เนื่องจากเซลล์ที่มีชีวิตจะมีการดูดซึมสาร FDA เข้าสู่เซลล์ เมื่อเปิดแสงยูวีจะส่งผลให้สาร FDA ภายในเซลล์เรืองแสง ขณะที่เซลล์ที่ผ่านการต้มจะไม่พบการเรืองแสง (b) สำหรับเซลล์ที่ปนเปื้อนสารหนู พบการเรืองแสงของเซลล์ชุดควบคุม (c) แต่ไม่พบการเรืองแสงของเซลล์ที่มีการปนเปื้อนสารหนูตั้งแต่ 10 ถึง 100 ppm เมื่อตรวจสอบเซลล์แพลงก์ตอนที่ปนเปื้อนสารหนู ด้วยกล้องจุลทรรศน์ พบว่าเซลล์แพลงก์ตอนยังสามารถเคลื่อนที่ได้ จึงคาดว่าเซลล์แพลงก์ตอนที่ปนเปื้อนสารหนุน่าจะยังมีชีวิต ดังนั้นจึงทำการทดสอบด้วยการเพาะเลี้ยงเซลล์ต่อไป



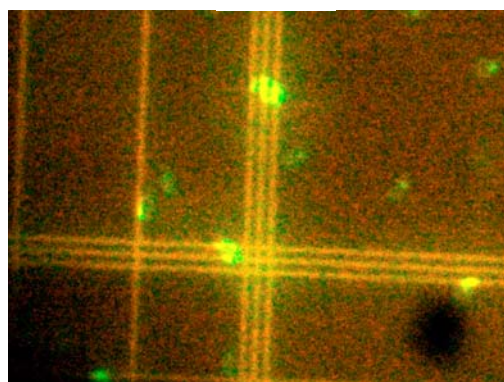
(a)



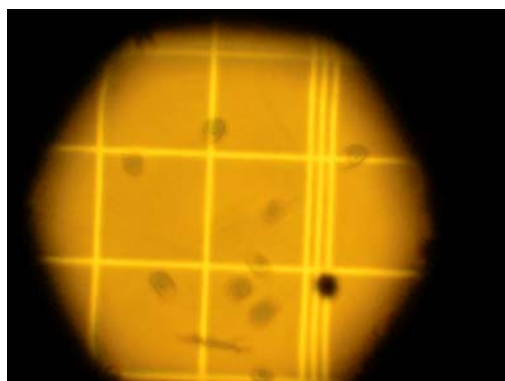
(b)



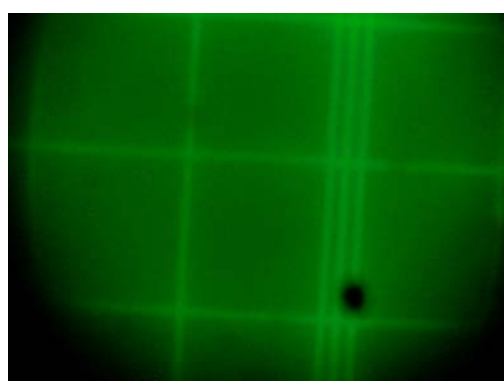
(c)



(d)



(e)



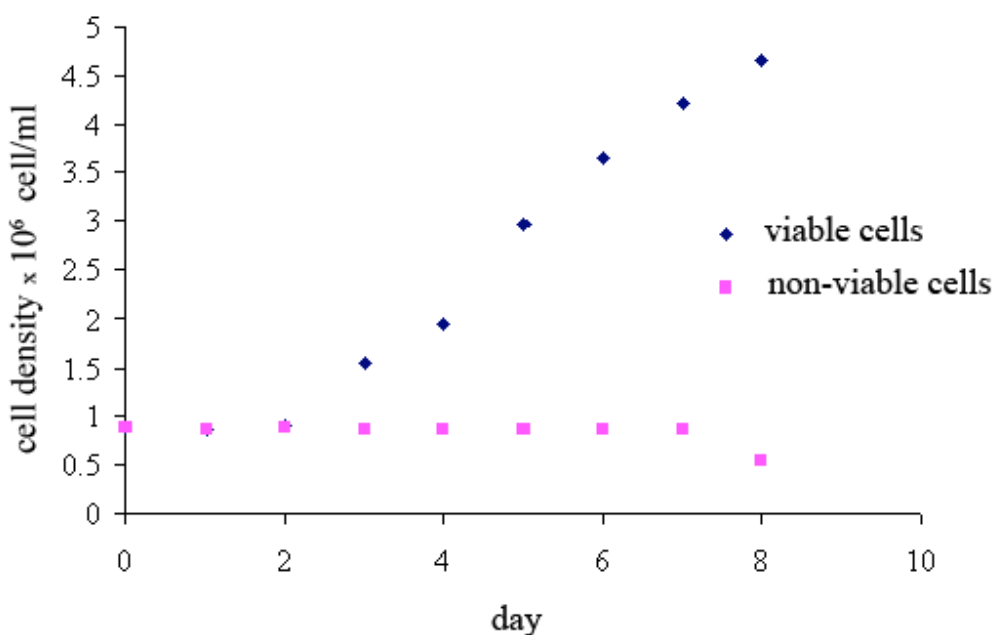
(f)

ภาพประกอบ 4.9 เปรียบเทียบการเรืองแสงของเซลล์ที่ไม่ผ่านการต้ม (a) เซลล์ที่ผ่านการต้ม (b) เซลล์ชุดควบคุม (c) การเรืองแสงของเซลล์ควบคุม (d) เซลล์ปนเปื้อนสารหนู 10 ppm (e) และเซลล์ปนเปื้อนสารหนู 10 ppm ซึ่งไม่พบการเรืองแสง (f)

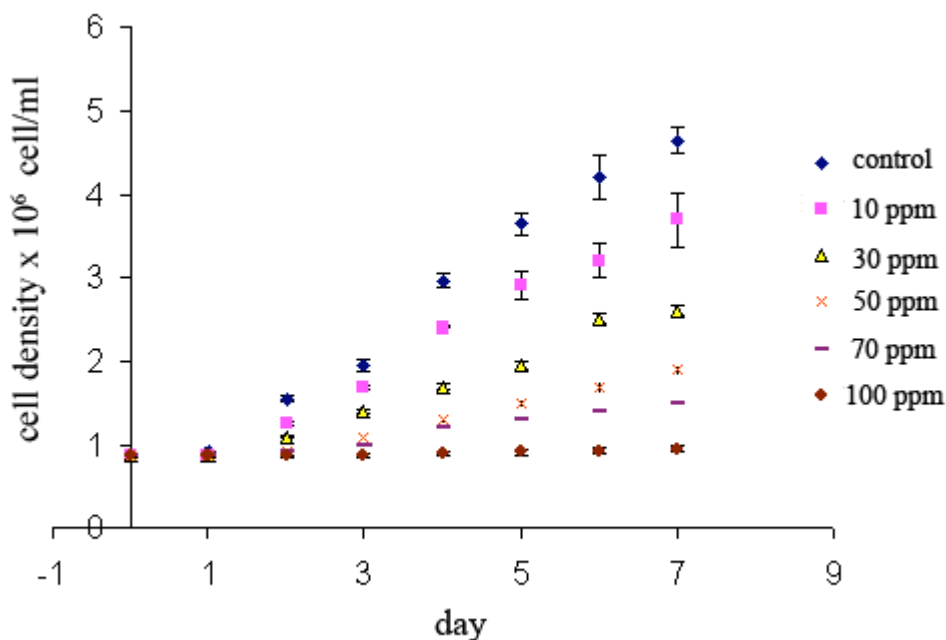
#### 4.5.2 การเพาะเลี้ยงแพลงก์ตอน *Tetraselmis* sp. เพื่อศึกษาการเจริญเติบโต

ได้ศึกษาการเจริญเติบโตของเซลล์ 2 กลุ่มคือ เซลล์ที่ผ่านการต้ม และเซลล์ปนเปื้อนสารหนู โดยนับความหนาแน่นเซลล์ทุกวัน จากภาพประกอบ 4.10 เปรียบเทียบการเจริญเติบโตของเซลล์ที่ผ่านการต้มกับเซลล์ปกติ หลังการเพาะเลี้ยงเซลล์ทั้งสองได้ 3 วันพบว่า เซลล์ปกติมีการเพิ่มความหนาแน่นในขณะที่เซลล์ที่ผ่านการต้มนาน 10 นาทีไม่มีการเพิ่มความหนาแน่น ดังนั้นจึงสรุปได้ว่า เซลล์ที่ผ่านการต้มนาน 10 นาทีเป็นเซลล์ตายทั้งหมด ซึ่งสอดคล้องกับผลทดสอบการมีชีวิตของเซลล์โดยใช้สีย้อม

เมื่อเพาะเลี้ยงเซลล์ในน้ำเลี้ยงที่มีการปนเปื้อนสารหนูที่ความเข้มข้น 10 ppm, 30 ppm, 50 ppm, 70 ppm และ 100 ppm แล้วหาความหนาแน่นเซลล์ทุกวัน โดยเปรียบเทียบผลกับเซลล์ชุดควบคุม ดังภาพประกอบ 4.11 พบว่าความหนาแน่นของเซลล์เพิ่มขึ้นทุกชุดการทดลองแต่เพิ่มช้ากว่าชุดควบคุม และเซลล์ที่ปนเปื้อนสารหนูสูง มีการเพิ่มจำนวนเซลล์ช้า ยกเว้นที่ระดับความเข้มข้น 100 ppm ซึ่งความหนาแน่นค่อนข้างคงที่ จึงเป็นไปได้ว่า สารหนูสะสมที่เชื่อมเซลล์ในปริมาณที่สูงขึ้น ทำให้ปิดกั้นความสามารถในการดูดซึมอาหารจากสิ่งแวดล้อม และอาจทำให้สาร FDA ไม่สามารถเกาะเชื่อมเซลล์ได้ จึงไม่ปรากฏการเรืองแสงของเซลล์เหล่านี้



ภาพประกอบ 4.10 เปรียบเทียบการเพิ่มจำนวนของแพลงก์ตอน *Tetraselmis* sp. ที่มีชีวิต และไม่มีชีวิต



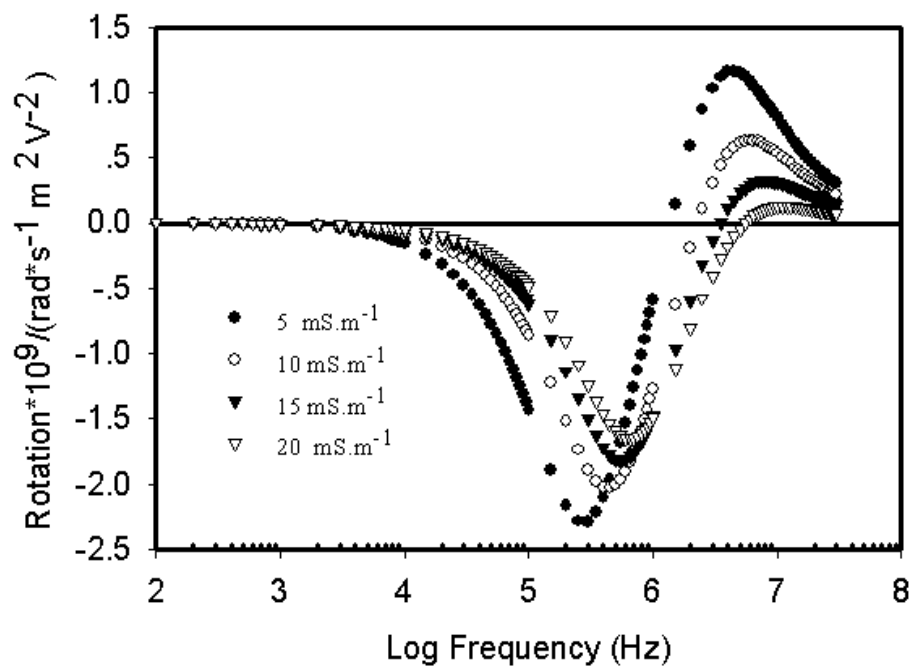
ภาพประกอบ 4.11 แสดงความหนาแน่นของแพลงก์ตอน *Tetraselmis* sp. ที่การปนเปื้อนสารหนู  
ระดับความเข้มข้นต่างๆ เทียบ

#### 4.6 ผลของการผันแปรพารามิเตอร์ทางไฟฟ้าของเซลล์ต่ออัตราการหมุน

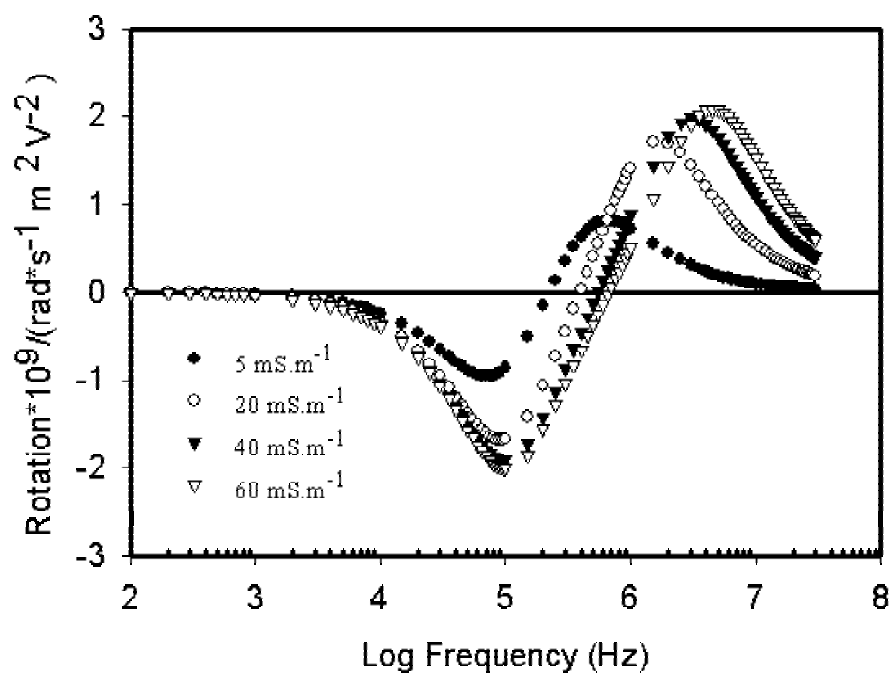
จากแบบจำลองเซลล์เดี่ยวทรงกลมเปลือกเซลล์ชั้นเดียว ( สมการ 2.13 ถึง 2.18 ) ค่า  $E$  ,  $\eta$  ,  $r$  ( ซึ่งคำนวณจากระยะเฉลี่ยระหว่าง  $a/2$  และ  $b/2$  ) และ  $\sigma_s$  เป็นค่าที่ได้จากการวัด สำหรับค่า  $\sigma_c$  ,  $\epsilon_c$  ,  $C_m$  และ  $G_m$  เป็นค่าที่ได้จากการประมาณโดยใช้แบบจำลองดังกล่าว ภาพประกอบ 4.12 a,b,c,d และ e แสดงผลกระทบของค่าทั้งสี่ต่อค่า  $fc_1$  ,  $fc_2$  ,  $R_1$  และ  $R_2$  ของเซลล์ โดยมีค่า  $E = 13.2$  kV/m ,  $\eta = 0.001$  N.s.m<sup>-2</sup> ,  $r = 5.9 \pm 0.8$   $\mu$ m ,  $\sigma_s = 1$  mS.m<sup>-1</sup> และ  $\epsilon_s = 80\epsilon_0$  ( Kakutani *et al.*, 1993 )

การที่พบว่าเมื่อเพิ่มค่า  $\sigma_c$  สูงขึ้นค่า  $R_1$  และ  $R_2$  ลดลง และค่า  $fc_1$  และ  $fc_2$  เลื่อนไปทางความถี่ที่สูงขึ้นนั้น สอดคล้องกับผลการทดลองในข้อ 4.3.2 และ 4.3.3 ขณะที่การเพิ่ม  $\sigma_c$  ทำให้ค่า  $R_1$  และ  $R_2$  เพิ่มขึ้น และค่า  $fc_1$  และ  $fc_2$  เลื่อนไปทางความถี่ที่สูงขึ้น การเพิ่ม  $\epsilon_c$  ทำให้ค่า  $R_1$  และ  $fc_1$  คงที่ แต่  $R_2$  ลดลง และค่า  $fc_2$  เลื่อนไปทางความถี่ต่ำ การเพิ่ม  $C_m$  ทำให้ค่า  $R_1$  ,  $R_2$  และค่า  $fc_2$  คงที่ แต่  $fc_1$  เลื่อนไปทางความถี่ต่ำ และเมื่อเพิ่ม  $G_m$  พบว่า ค่า  $R_2$  และค่า  $fc_2$  คงที่ แต่  $R_1$  มีขนาดลดลง และ  $fc_1$  เลื่อนไปทางความถี่ที่สูงขึ้น เป็นที่น่าสังเกตว่า ผลการทดลองของเซลล์ตาย ( ข้อ 4.3.3 ) พบค่า  $R_1$  ลดลง จึงเป็นไปได้ว่าเกิดจากค่า  $G_m$  ที่เพิ่มขึ้น แสดงว่าเซลล์แพลงก์ตอน *Tetraselmis* sp. ที่ตาย น่าจะมีค่า  $G_m$

เพิ่มสูงขึ้น จากผลของการผันแปรค่าพารามิเตอร์ทางไฟฟ้าของเซลล์ต่ออัตราหมุนของเซลล์นี้ ช่วยให้การประมาณค่าคงที่ทางไฟฟ้าของเซลล์ในตอน 4.7 ทำได้ง่ายขึ้น

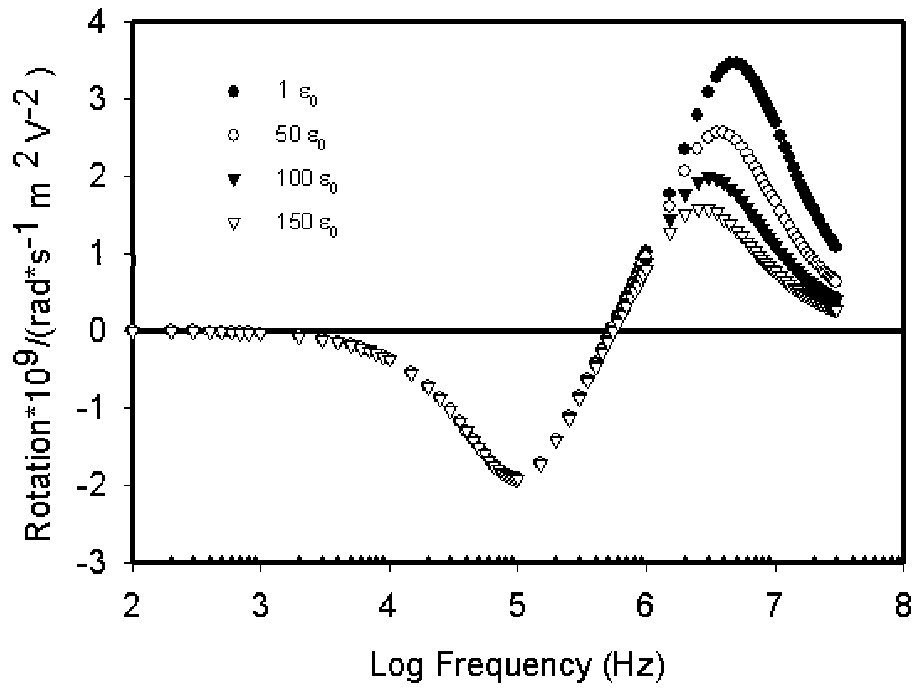


(a) ผลของการเปลี่ยนแปลง □□, ต่ออัตราหมุนของเซลล์

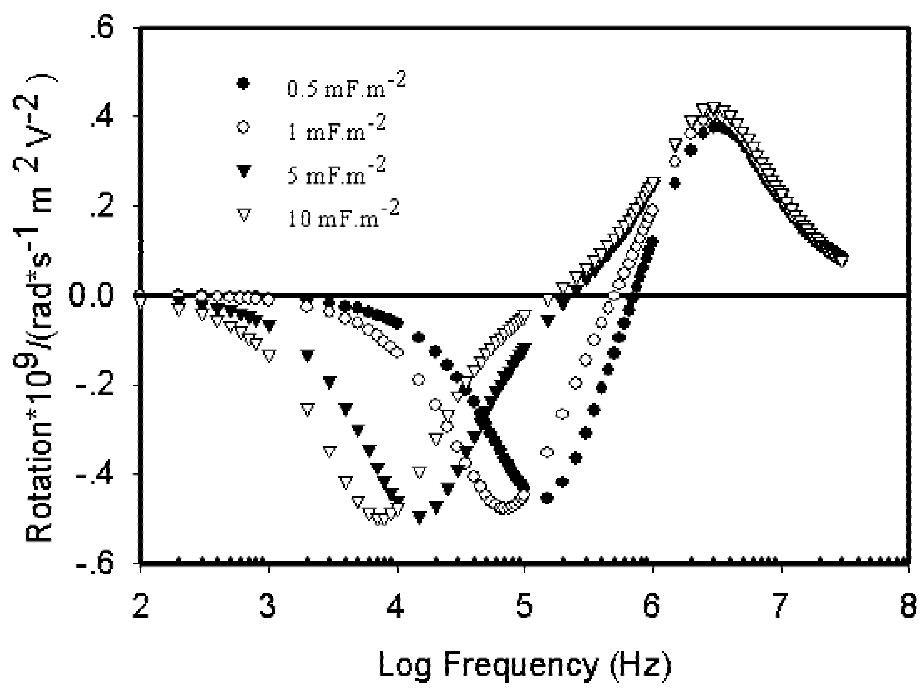


(b) ผลของการเปลี่ยนแปลง □□, ต่ออัตราหมุนของเซลล์

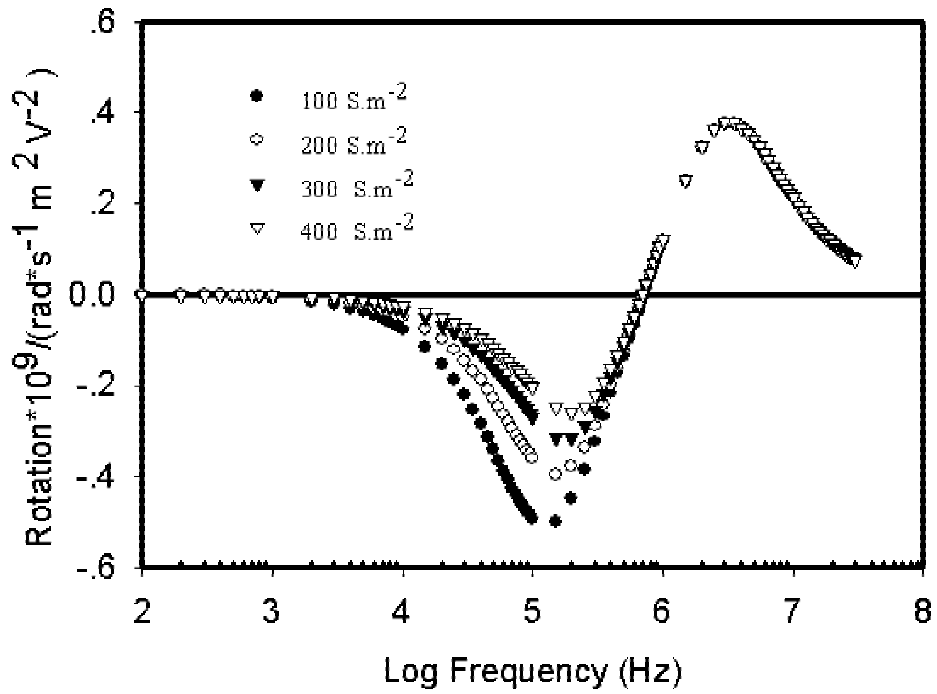




(c) ผลของการเปลี่ยนแปลง  $\epsilon_0$  ต่ออัตราหมุนของเซลล์



(d) ผลของการเปลี่ยนแปลง  $C_m$  ต่ออัตราหมุนของเซลล์

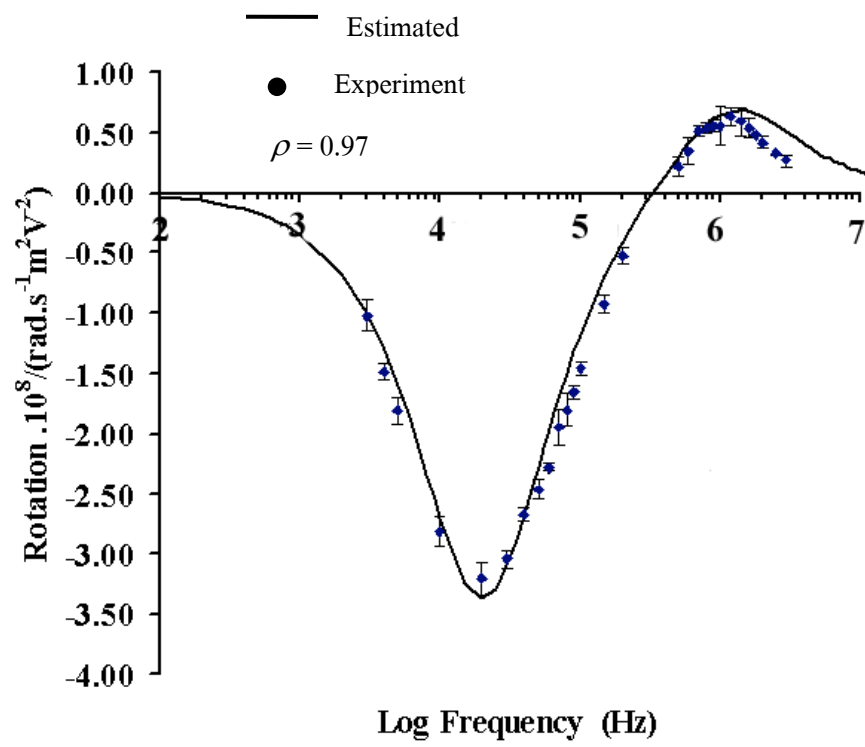
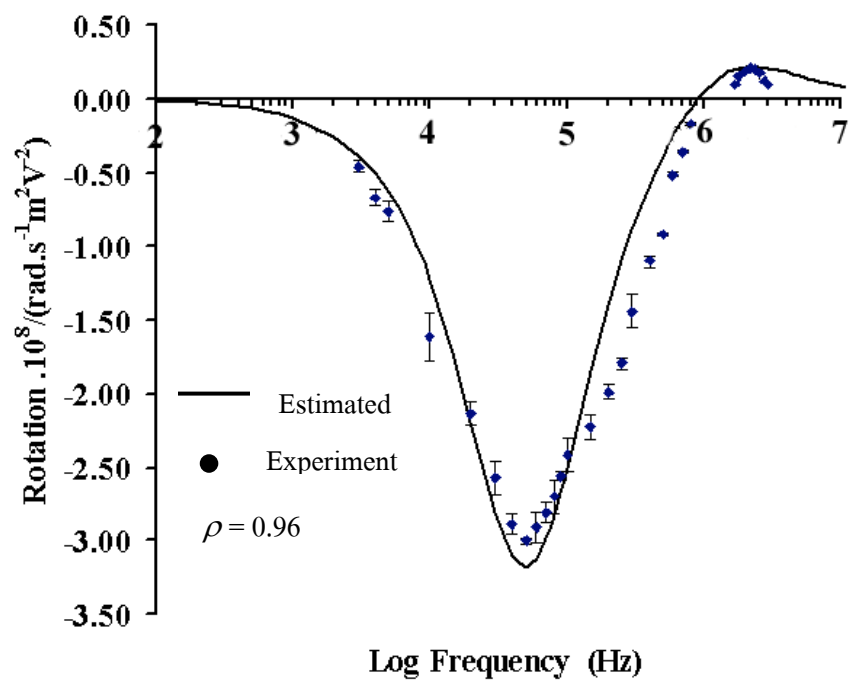


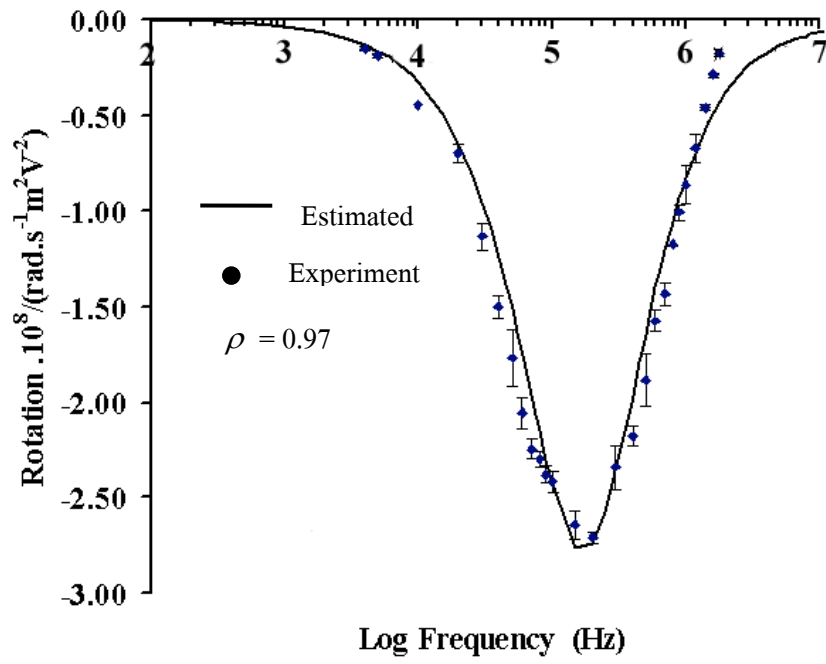
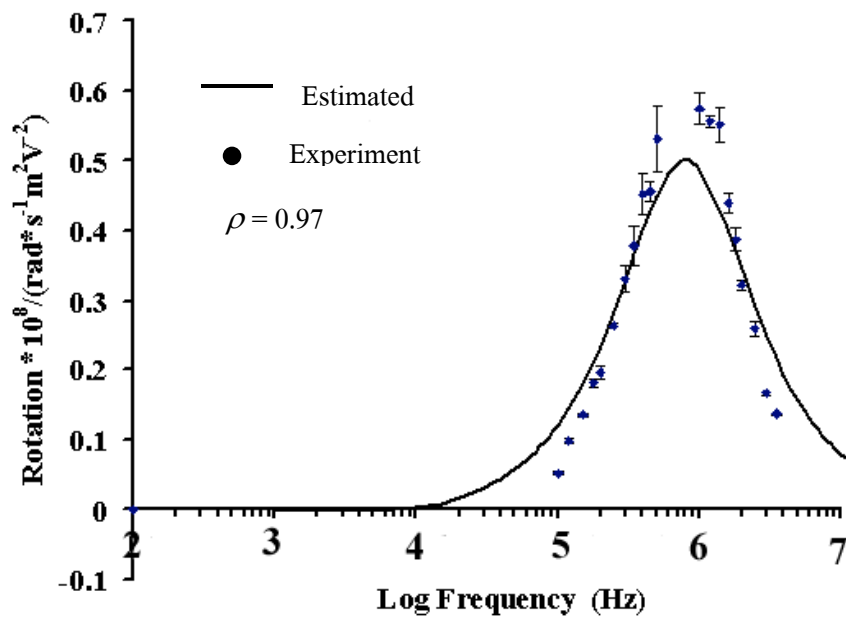
(e) ผลของการเปลี่ยนแปลง  $G_m$  ต่ออัตราหมุนของเซลล์

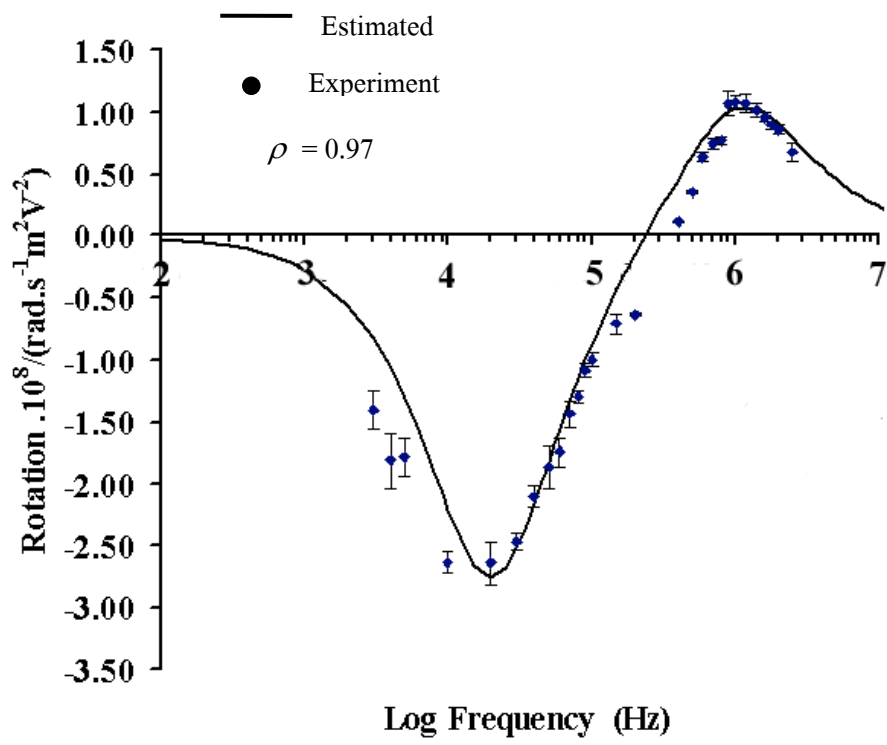
ภาพประกอบ 4.12 ผลของการเปลี่ยนค่าคงที่ทางไฟฟ้ากับอัตราหมุนของเซลล์ในเชิงทฤษฎี

#### 4.7 ประมาณค่าคงที่ทางไฟฟ้าของเซลล์แพลงก์ตอน *Tetraselmis* sp.

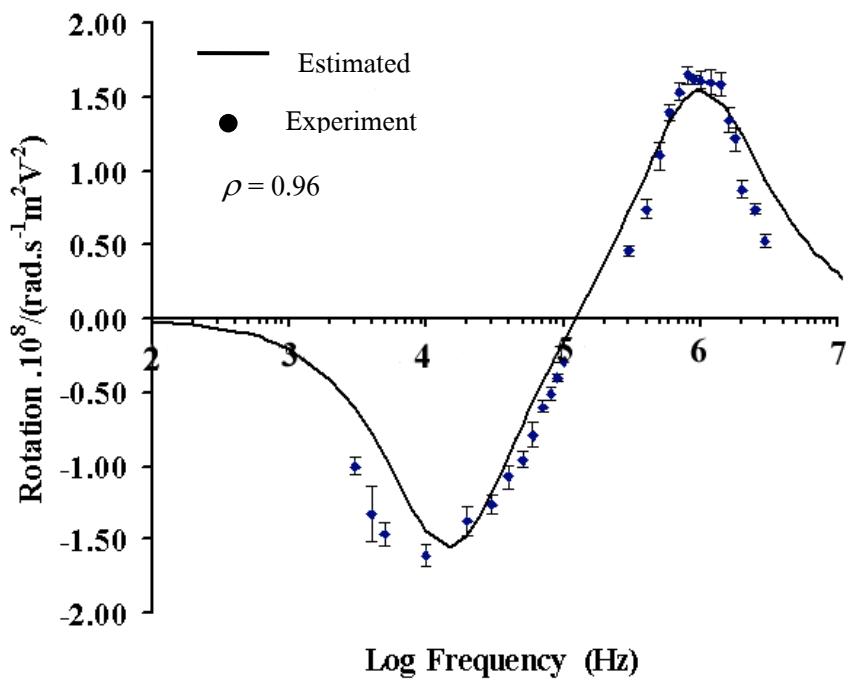
จากกราฟในภาพประกอบที่ 4.6 ,4.7 และ 4.8 ได้ลากเส้นโดยอาศัยข้อมูลอัตราหมุนและแบบจำลองเซลล์เดี่ยวเปลือกหนึ่งชั้นและอิงการเปลี่ยนแปลง  $R_1$  ,  $fc_1$ ,  $R_2$  และ  $fc_2$  ที่เสนอในข้อ 4.6 ทำการปรับเปลี่ยนค่าตัวแปร  $\sigma_c$  ,  $\epsilon_c$  ,  $C_m$  และ  $G_m$  หลายๆครั้ง จนกระทั่งความผิดพลาดน้อยที่สุด ( $\rho \approx 1$ ) จะได้ภาพประกอบที่ 4.13 ซึ่งผลการประมาณค่าโดยวิธีดังกล่าวแสดงในตาราง 4.5

(a) Viable cell  $\sigma_s = 1.4 \text{ mS} \cdot \text{m}^{-1}$ (b) Viable cell  $\sigma_s = 5 \text{ mS} \cdot \text{m}^{-1}$

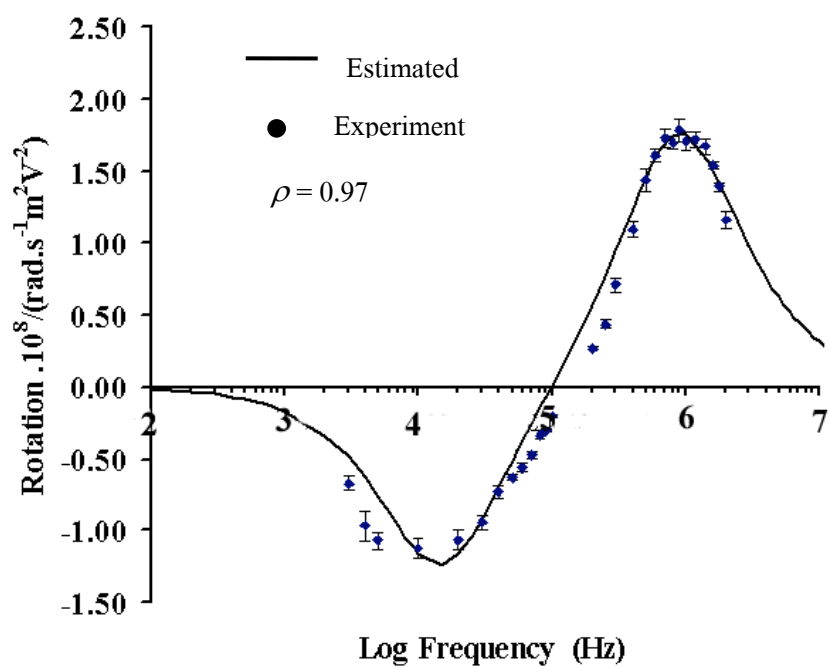
(c) Viable cell  $\sigma_s = 24 \text{ mS} \cdot \text{m}^{-1}$ (d) Non-viable cell  $\sigma_s = 1.4 \text{ mS} \cdot \text{m}^{-1}$



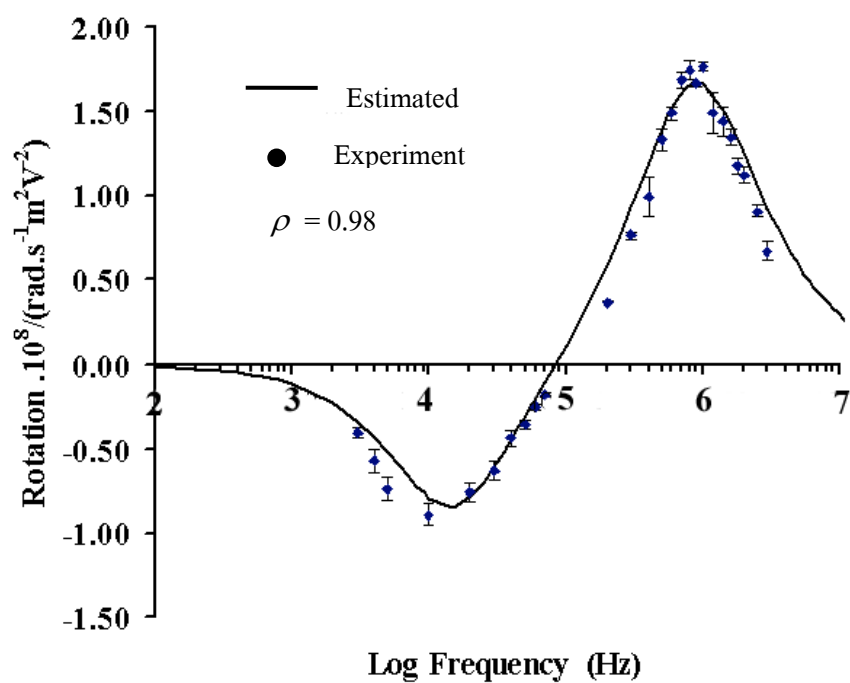
(e) 10 ppm



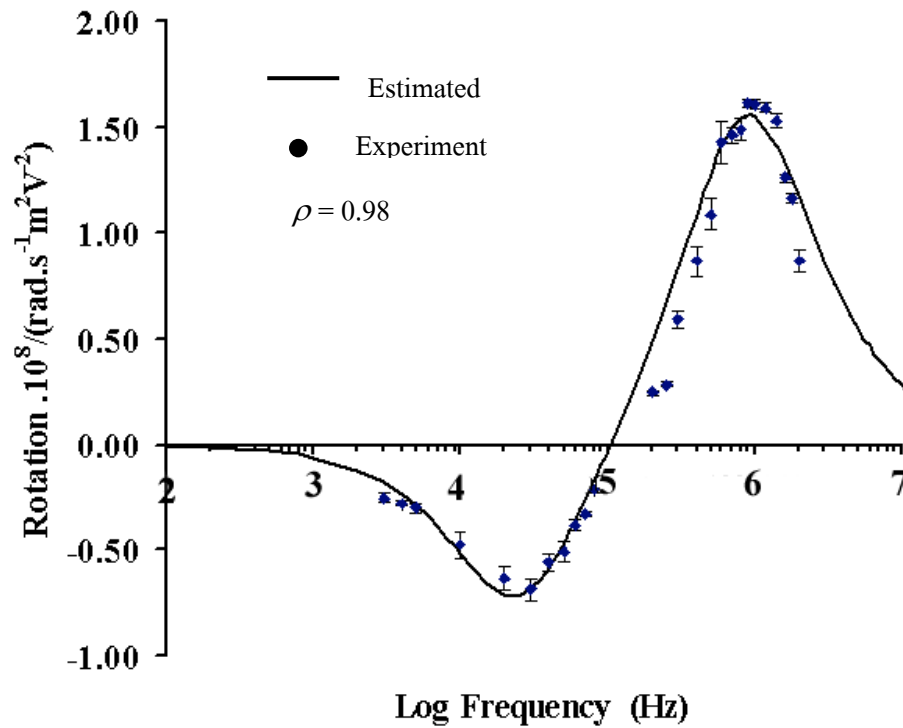
(f) 30 ppm



(g) 50 ppm



(h) 70 ppm



(i) 100 ppm

ภาพประกอบ 4.13 แสดงอัตราหมุนที่ได้จากการนำค่า  $fc_1$ ,  $fc_2$ ,  $R_1$  และ  $R_2$  ของผลการทดลองในเซลล์เป็นที่  $\sigma_s = 1.4$ , 5 และ  $24 \text{ mS} \cdot \text{m}^{-1}$  เซลล์ตายที่  $\sigma_s = 1.4 \text{ mS} \cdot \text{m}^{-1}$  และ เซลล์ที่ปนเปื้อนสารหนูเข้มข้น 10, 30, 50, 70 และ 100 ppm เทียบกับค่าที่คำนวณเชิงทฤษฎี โดย  $\rho$  คือสัมประสิทธิ์การถดถอย

ตาราง 4.5 ค่าคงที่ทางไฟฟ้าที่น่าจะเป็นของเซลล์ภายใต้เงื่อนไขต่างๆเปรียบเทียบกับเซลล์ชนิดอื่นๆ

<i>Tetraselmis</i> sp.	$\sigma_s$ (mS.m <sup>-1</sup> )	$\sigma_c$ (mS.m <sup>-1</sup> )	$\epsilon_c$ ( $\epsilon_0$ )	$C_m$ (mF. m <sup>-2</sup> )	$G_m$ (kS.m <sup>-2</sup> )	Ref.
เซลล์เป็น	1.4	5.4	39.3	3.5	0.5	-
	5	31.4	128.4	2.7	1.6	-
	24	408.0	647.4	2.6	6.5	-
เซลล์ตาย	1.4	7.0	94.4	1.6 F.m <sup>-2</sup>	98.9	-
+As 10 ppm	1.4	3.9	14.5	12.0	0.2	-
+As 30 ppm	1.4	3.6	12.3	49.2	1.7	-
+As 50 ppm	1.4	3.4	10.7	60.1	5.1	-
+As 70 ppm	1.4	3.5	13.1	70.4	8.5	-
+As 100 ppm	1.4	3.6	14.0	71.4	8.8	-
โพรโทพลาส เกสรดอกกลีลลี่	3-20	500-700	50-60	8-10	0.05-0.2	Sukhorukov <i>et al.</i> (1998)
	แบบจำลองเซลล์เดี่ยวเปลือกเซลล์ชั้นเดียว					
เซลล์ยีสต์	10-30	950-1000	85	6.71	3-5	Kriegmaier <i>et al.</i> (2001)
	แบบจำลองเซลล์เดี่ยวเปลือกเซลล์ 2 ชั้น					
โพรโทพลาส ไบบาร์เลย์	5.33	500	60	5.5	0.001	Kakutani <i>et al.</i> (1993)
	แบบจำลองเซลล์เดี่ยวเปลือกเซลล์ 3 ชั้น					



ตาราง 4.5 (ต่อ)

	$\sigma_s$ (mS.m <sup>-1</sup> )	$\sigma_c$ (mS.m <sup>-1</sup> )	$\epsilon_c$ ( $\epsilon_0$ )	$C_m$ (mF. m <sup>-2</sup> )	$G_m$ (kS.m <sup>-2</sup> )	Ref.
<i>Tetraselmis sp.</i>	6-24	13-40	105-150	5.9-8.8	-	Wanichapichart <i>et al.</i> (2002)
วิธีโคอีเล็กโทรฟอเรซิส						

จากตารางจะพบว่าค่า  $\sigma_c$ ,  $\epsilon_c$  และ  $G_m$  มีค่าเพิ่มขึ้น ตามการเพิ่มของ  $\sigma_s$  แต่  $C_m$  มีค่าลดลง เนื่องจาก  $C_m$  มีค่าเท่ากับ  $\frac{\epsilon_m}{\delta}$  ค่า  $C_m$  จึงขึ้นกับ  $\epsilon_m$  แต่ทฤษฎีที่ใช้ไม่ได้แสดงให้เห็นการเปลี่ยนแปลงของ  $\epsilon_m$  จึงไม่สามารถอธิบายได้จากงานวิจัยนี้

เปรียบเทียบค่าคงที่ทางไฟฟ้าระหว่างเซลล์เป็นและเซลล์ตาย พบว่า ค่า  $C_m$  และ  $G_m$  ของเซลล์ตายสูงกว่าเซลล์เป็นประมาณ 1,000 เท่าอธิบายว่า การให้ความร้อนที่อุณหภูมิ 80 °C เป็นเวลา 10 นาทีแก่เซลล์ น่าจะทำให้เชื้อหุ้มเซลล์สูญเสียความสามารถเก็บกักอิเล็กโทรไลต์ภายใน ทำให้สารละลายภายนอกไหลเข้าสู่ภายในเซลล์ได้ง่ายขึ้น ในขณะที่ค่า  $\sigma_c$  และ  $\epsilon_c$  ของเซลล์ตายไม่เปลี่ยนแปลงมากนัก อาจเกิดจากเซลล์มีผนังหุ้มเชื้อหุ้มเซลล์อีกชั้นหนึ่ง ทำให้ไซโทพลาสซึมแพร่ออกมายาก

เมื่อเปรียบเทียบค่าคงที่ทางไฟฟ้าระหว่างเซลล์ที่ปนเปื้อนสารหนูเข้มข้นที่ระดับต่างๆ พบว่าค่า  $G_m$  และ  $C_m$  เพิ่มขึ้นตามการเพิ่มปริมาณของสารหนู ขณะที่ค่า  $\sigma_c$  และ  $\epsilon_c$  ค่อนข้างคงที่มีค่าเฉลี่ย  $3.6 \pm 0.2 \text{ mS.m}^{-1}$  และ  $13\epsilon_0 \pm 1\epsilon_0$  ตามลำดับ เป็นที่สังเกตว่าการเพิ่มของ  $G_m$  และ  $C_m$  เป็นไปในทำนองเดียวกับที่พบในเซลล์ตาย ทั้งนี้อาจเป็นเพราะสารหนูซึ่งเป็นโลหะหนักสะสมที่เชื้อหุ้มเซลล์จึงเพิ่มค่า  $\sigma_m$  จึงทำให้  $G_m$  เพิ่มตามการเกาะของสารหนูที่เชื้อหุ้มเซลล์ อาจเป็นสาเหตุที่ทำให้ไม่พบการเรืองแสงของ FDA (ข้อ 4.5.1) แม้จะใช้สารหนูปริมาณต่ำ

เมื่อเปรียบเทียบค่าคงที่ทางไฟฟ้าที่ศึกษาจากงานนี้กับ โพรโทพลาสของเกสรดอกลิลลี่ ( Sukhorukov *et al.*,1998 ) ซึ่งใช้แบบจำลองเดียวกันพบว่าค่า  $\sigma_c$  สูงกว่า ขณะที่  $G_m$  ต่ำกว่ามาก เมื่อเปรียบเทียบค่าคงที่ทางไฟฟ้าที่ได้กับเซลล์ยีสต์ ( Kriegmaier *et al.*,2001 ) ซึ่งใช้แบบจำลองเซลล์เดี่ยวทรงกลมเปลือกเซลล์ 2 ชั้นพบว่า ค่า  $C_m$  และ  $G_m$  มีค่าอยู่ในลำดับเดียวกัน จึงคาดว่าองค์ประกอบของเชื้อหุ้มเซลล์ทั้งสองน่าจะไม่ต่างกันมากนักและเปรียบเทียบค่า  $C_m$  ของเซลล์ *Tetraselmis sp.* ที่ได้จาก

วิธีไดอิเล็กโตรโฟรีซิส (Wanichapichart *et al.*, 2002) เมื่อ  $\sigma_s = 24 \text{ mS.m}^{-1}$  พบว่า ค่า  $C_m$  ในงานวิจัยนี้กลับมีค่าน้อยกว่า  $C_m$  ที่ได้จากวิธีไดอิเล็กโตรโฟรีซิส อาจเกิดจากความแตกต่างระหว่างความเข้มสนามไฟฟ้าที่ใช้ กล่าวคือวิธีไดอิเล็กโตรโฟรีซิสใช้สนามไฟฟ้าความเข้มประมาณ  $85 \text{ kV.m}^{-1}$  ขณะที่งานวิจัยนี้ใช้ สนามไฟฟ้าความเข้ม  $11.3 \text{ kV.m}^{-1}$  อธิบายว่าที่ความเข้มของสนามไฟฟ้าสูงๆ ค่าความต้านทานความจุของเยื่อหุ้มเซลล์จะสูงตาม แต่การพบความขัดแย้งของค่า  $\sigma_c$  และ  $\epsilon_c$  ที่ไม่สอดคล้องกัน น่าจะเกิดจากการเคลื่อนที่ของเซลล์ในระหว่างลวดทรงกระบอกมีความเร่งเกิดขึ้นด้วย ทำให้การวัดความเร็วบางช่วงไม่เป็นไปตามเงื่อนไขเชิงทฤษฎี